

Закон природы

Секрет вселенной

Р.Н.Эллиотт, 1946 г.

(Nature's Law. The Secret of the Universe, by R.N.Elliott, 1946)

Предисловие переводчика ко 2-й редакции перевода

Эта книга является венцом творения Ральфа Эллиотта, первооткрывателя Закона волн.

К началу 40-х годов прошлого столетия Ральф Нельсон Эллиотт завершил разработку концепции, в которой взлеты и падения человеческих эмоций и результаты человеческой деятельности следуют естественной последовательности событий, управляемой законом природы. Графические модели поведения человеческого общества он дополнил соотношением Фибоначчи или «золотой» пропорцией - математическим явлением, известным в течение тысячелетий математикам, естествоиспытателям, художникам, зодчим и философам в качестве вездесущего закона природы, которому подчиняется и форма, и движение.

К 1946 году Эллиотт объединил свои работы в своей последней монографии.

Во второй редакции моего перевода этой книги терминология приведена к единому порядку со всеми моими материалами, добавлены новые комментарии, исправлены мелкие шероховатости. В конце каждой главы в специальном разделе **Сноски** даются комментарии Роберта Пректера. Мои небольшие пояснения и дополнения традиционно отмечены звездочкой и заключены в квадратные скобки [*].

Дмитрий Возный
forDmitry@yahoo.com

07 декабря 2009 года

NATURE'S LAW

THE SECRET OF THE UNIVERSE

By R. N. ELLIOTT



Vitally Important for

Traders in Securities, Commodities, etc.; Investors; Customers' Brokers; Market Technicians; Bankers; Business Managers; Economists; Trusts.



Of Interest to

Artists, see page 9; Botanists, see pages 9, 51; Egyptologists, see pages 7, 8, 51; Inventors, see pages 38, 39; Mathematicians, see pages 7, 9, 29, 31, 51; Philosophers, see page 4; Physicians, see page 55; Psychologists, see pages 7, 24; Pyramidists, see pages 7, 8, 29, 51, 59; Pythagoreans, see pages 7, 8, 56, 57, 58; Students of Dynamic Symmetry, see pages 8, 9, 10, 11.

Оглавление

Введение.	Ритм в природе	4
I.	Великая пирамида в Гизе	7
II.	Закон природы	9
III.	Человеческая деятельность	15
IV.	Характерные особенности человеческой деятельности	16
V.	Коррекции	19
VI.	Удлиннения	27
VII.	Вершины растянутой волновой плоскости	32
VIII.	Чередование	33
IX.	Шкалы	35
X.	Примеры	37
XI.	Тринадцатилетний треугольник	41
XII.	Прорыв	46
XIII.	Цена золота	48
XIV.	Патенты	50
XV.	Технические особенности	52
XVI.	Железнодорожный индекс Доу	55
XVII.	Значение новостей	57
XVIII.	Работа с графиками	59
XIX.	Выбор времени инвестирования	61
XX.	Выбор инструмента для инвестирования	62
XXI.	Символические цифры пирамиды	64
XXII.	Закон движения	66
XXIII.	Великая депрессия	69
XXIV.	Эмоциональные циклы отдельных личностей	71
XXV.	Пифагор	72
XXVI.	Разное	75
XXVII.	Бычий рынок 1942-1945 годов	77
	Обзор и заключение	79

Принятые сокращения

- (Гл) Глава. «Гл24» означает «Глава 24»
 (Рис) Рисунок. «Рис4» означает «Рисунок 4»
 (ОТ) Orthodox Top – ортодоксальная вершина.
 (Фибо) Число из последовательности Фибоначчи (1, 1, 2, 3, 5, 8, 13, 21, ...) или коэффициент, вычисленный на основе этой последовательности (0.38, 0.5, 0.62, 1.62, 2.62 и т.д.)

Введение. Ритм в природе. (1)

Никакая истина не нашла большего повсеместного признания, чем та, что вселенной правит закон. Очевидно, что без закона был бы хаос, а там, где хаос, нет ничего. Навигация, химия, авиация, архитектура, радиопередача, хирургия, музыка – несомненно, полный спектр искусства и науки – все, взаимодействуя с одушевленными и неодушевленными предметами, подчиняется закону, потому что сама природа поступает таким же образом. Поскольку отличительной чертой закона является именно установленный порядок или постоянство, то из этого следует, что все происходящее повторится и может быть предсказано, если мы знаем этот закон.

Колумб, утверждавший, что Земля круглая, предсказывал, что курс на запад из Европы, в конечном счете, может привести его корабли к земле и, несмотря на зубоскалов даже среди его собственной команды, он увидел свой прогноз сбывшимся. Галей, рассчитав орбиту своей кометы в 1682 году, предсказал ее возвращение, которое было замечательно подтверждено в 1759 году. Маркони, после изучения передачи электрических колебаний предсказал, что звук можно будет передавать без проводов, и сегодня мы можем сидеть у себя дома и слушать музыкальные и другие программы из-за океана. Эти люди, как и бесчисленное множество других в различных областях деятельности, изучали закономерность. После ее обнаружения, прогнозирование становилось простым делом, поскольку обретало математическую основу.

Даже тогда, когда мы не понимаем причину, лежащую в основе конкретного явления, мы можем на основе наблюдений предсказывать повторение данного феномена. Из дня в день в течение многих тысяч лет люди ждали восход солнца в установленное время прежде, чем стала известна причина, приводящая к такому результату. Индейцы связывали начало своих месяцев с каждым новолунием, но даже сегодня не смогут сказать, почему постоянные интервалы являются отличительной чертой этого небесного знамения. Весенняя посадка семян является доказательством цикличности мира, так как следующим по порядку сезоном ожидается лето; но сколько фермеров понимают, почему им предоставляется такое постоянство времен года? В каждом приведенном примере использовался ритм конкретного явления.

Человек является природным объектом ни чуть не меньше, чем Солнце или Луна, и его деятельность, выраженная языком цифр, также является предметом анализа. Человеческая деятельность, хотя и является поразительной по своей сути, при рассмотрении с точки зрения ритмических процессов содержит точный и понятный ответ на некоторые наши самые ошеломительные проблемы. Более того, поскольку человек является участником ритмического процесса, прогнозы, выдвигаемые в связи с его деятельностью, могут простираются далеко в будущее с обоснованием и достоверностью прежде недостижимыми.

Весьма далеко идущее исследование в области, попадающей под определение человеческой деятельности, показало, что практически весь ход развития, который является результатом нашей социально-экономической жизнедеятельности, следует некому закону, который заставляет результаты повторяться в виде схожих и неизменно рекуррентных последовательностей определенного набора волн или импульсов установленной формы. Более того, оно показало, что эти волны или импульсы в своей глубине несут стойкую взаимосвязь между собой и течением времени. Чтобы продемонстрировать и объяснить это явление наилучшим образом, необходимо взять некий пример из области человеческой деятельности, который предоставит массу достоверных данных, и для этой цели нет ничего лучше, чем фондовая биржа.

Особое внимание было уделено именно фондовому рынку по двум причинам. Во-первых, нет другой такой области, в которой предпринимались попытки прогнозирования с такой большой интенсивностью и с таким незначительным результатом. Экономисты, статистики, технические

специалисты, правители и банкиры – все делали попытку прогнозирования будущего для цен на Нью-Йоркской фондовой бирже. Несомненно, появилась конкретная профессия, ориентированная на рыночное прогнозирование. Хотя 1929 год пришел и ушел, но переход от самого значительного из известных бычьих рынков к самому значительному из известных медвежьих рынков застал почти всех инвесторов врасплох. Для ведущих инвестиционных организаций, тратящих сотни тысяч долларов ежегодно на рыночные исследования, это было неожиданностью, и они понесли миллионные убытки из-за падений цен на пакеты акций, удерживаемых слишком долго.

Второй причиной для выбора фондового рынка в качестве демонстрации волновых импульсов, общих для любой социально-экономической деятельности, является крупная прибыль, сопутствующая успешному рыночному прогнозу. Даже случайный успех в некоем отдельном рыночном прогнозе приносит богатство чуть меньшее, чем сказочное. Для примера, в рыночном подъеме с июля 1932 года по март 1937 года, средний рост тридцати ведущих и показательных акций составил 337%. Тем не менее, в ходе этого пятилетнего подъема были отдельные акции, чей рост в процентах был гораздо выше. Наконец, общий рост, упомянутый выше, не является результатом прямолинейного движения, но серии восходящих и нисходящих шагов или зигзагообразных движений длительностью в несколько месяцев. Эти, не такие крупные движения, предоставляют даже большую возможность для прибыли.

Несмотря на внимание, уделяемое фондовому рынку, успех и в точности предсказаний, и, кроме того, в сопутствующих вознаграждениях, были случайными, потому что те, кто пытался работать с рыночными движениями, не смогли осознать степень, до которой рынок является психологическим явлением. Они не поняли того факта, что существует закономерность, лежащая в основе колебаний рынка, или, говоря по-другому, ценовые движения являются следствием ритмов или упорядоченной последовательностью. Таким образом, тем, кто имеет некий опыт в данном вопросе, хорошо известно, что рыночные прогнозы испытывают недостаток в достоверности или значимости любого сорта, кроме случайного.

Однако у рынка есть свой закон, так же, как и у других сущностей во вселенной. Если бы закона не было, то не было бы и оси, возле которой цены могли бы обращаться, и, следовательно, не было бы рынка. Вместо этого были бы ежедневные последовательности самопроизвольных, беспорядочных ценовых колебаний без всякой причины или видимого порядка. Тем не менее, как будет показано позднее, тщательное изучение рынка доказывает, что это не так. Будут выделены ритмические, систематизированные, выверенные и гармоничные движения. Этот неизвестный закон рынка может быть обнаружен только тогда, когда рынок рассматривается под соответствующим углом зрения, а затем анализируется с помощью этого метода. Просто представьте, что фондовый рынок – это творение человека и, следовательно, отражает человеческие особенности. На следующих страницах этот закон или ритм, которому подчиняется человек, будет раскрыт в качестве рыночных движений, изменяющихся в соответствии с определенным волновым законом.

Закон волн – это явление, которое всегда функционировало в любой отрасли человеческой деятельности. Волны различных уровней (degrees) развивались независимо от того, существовал или нет механизм для их регистрации. Когда подобный механизм, описанный строчкой ниже, имелся в наличии, то модели волн проявлялись и становились видимыми для опытного глаза.

A. Обширная коммерческая деятельность, представленная корпорациями, чьи владения широко распространены [*охватывает широкие слои населения].

B. Всеобщий рынок, где покупатель и продавец могут оперативно взаимодействовать через своих представителей.

C. Достоверная запись и публикация сделок (транзакций).

D. Наличие соответствующей статистики по всем вопросам, имеющим отношение к корпорациям.
E. Предельные значения (high and low) дневного диапазона [*цен], нанесенные в виде графика таким способом, что раскроют волны всех уровней по мере их формирования.

Ежедневная регистрация диапазона фондовых транзакций была введена в действие в 1928 году, а почасовая запись – в 1932. Все это необходимо, чтобы наблюдать волны на младших уровнях (minor and minute), особенно на быстрых рынках.

В противоположность доктрине Теории Доу, популярного метода для оценки движений фондового рынка, «Закон природы» не требует подтверждения по двум фондовым индексам. Каждый индекс, группа [*акций], акция или любая другая человеческая деятельность интерпретируется своими собственными волнами.

Сноски (здесь и далее комментарии Р.Пректера)

(1) За исключением незначительных изменений данное введение соответствует главе I книги «Закон волн».

Глава I. Великая пирамида в Гизе.

Много лет назад я пытался выяснить смысл слова «цикл» («cycle»), но никто не мог дать его определение. Любопытство привело меня к изучению графиков и я открыл ритм в изменениях [*цен] (изложено в моем труде, опубликованном в 1938 году [*«Закон волн»]). Позднее я обнаружил, что основой моих открытий был закон природы, известный проектировщикам Великой пирамиды в Гизе, которая, предположительно, была спроектирована пять тысяч лет назад.

[*По всей видимости, речь идет о пирамиде Хеопса, первой и самой крупной пирамиде на Земле, расположенной в долине Гизе (Gizeh), Египет. Гизе - местность на левом берегу Нила, почти напротив Каира, известная полем пирамид. Здесь стоят три самых больших пирамиды (называемых Великими), принадлежащих фараонам Хеопсу, Хефрену и Микерине и несколько меньших пирамид. Строительство Великих пирамид было завершено в 2590, 2550, 2505 г.г. до н.э. соответственно, но автор говорит лишь об одной из них.]

В Египте и остальном мире существуют несколько пирамид, но пирамида в Гизе является первым подобным произведением, и только она одна демонстрирует символические цифры. Остальные пирамиды были построены позднее и служили склепом для тел королей и их семейств. Еще в 820 году до н.э. турецкий калиф аль Мамун (Al Mamoun) ошибочно полагал, что пирамида в Гизе скрывает тела бывших фараонов и что там могут быть найдены золотые клады. Это подтверждает, что даже в то далекое время символические цифры пирамиды в Гизе были не известны. Период проектирования этой пирамиды протекал не только до возникновения литературы, но и до возникновения иероглифов [*т.е. египетской письменности]. На других пирамидах вне долины Гизе иероглифы уже присутствуют.

Огромные средства были потрачены на изучение этих символов, особенно за последние пятьдесят лет. Их толкование необыкновенно точно, насколько современные знания допускают их понимание. Многие из этих знаний получены относительно недавно и показывают, что эти научные символы, воплощенные в пирамиде в Гизе должны иметь сверхъестественную природу, или что ранее существовала цивилизация, равная современной или превышающая ее по уровню своего развития. Возможно, что высокоразвитая цивилизация ранее находилась в западном полушарии, главным образом от Мексики до Аргентины. Библия упоминает о великанах, а не так давно были найдены челюсти гигантов, которые могли достигать веса в четыреста или пятьсот фунтов [*150..220 кг]. (1)

Насколько я смог узнать, египтологи не заметили некие важные символы, заключенные в Великой пирамиде, такие как соотношение высоты к основанию пирамиды, равное 61.8%, и высоту пирамиды в дюймах, равную 5813. (Обратите внимание на числа 5, 8, 13, упоминаемые ниже в числовой последовательности.) Единицей измерения в Египте был и остается тот же «дюйм», который известен и нам в настоящее время.

Контур боковой стороны представляет собой нечто вроде цикла [*замкнутого контура], т.е. **3** линии; у пирамиды **5** поверхностей, четыре над землей и одна – основание; с вершины видны **8** линий; сумма линий и поверхностей: **13**.

Фибоначчи, итальянский математик тринадцатого века, посетил Египет и по возвращении открыл следующую последовательность чисел: 1 2 3 5 8 13 21 34 55 89 144... Сумма любых двух соседних чисел равна последующему, например, $5 + 8 = 13$. Отношение любого числа к последующему равно 61.8% (соотношение чисел в начале ряда дает немного отличный результат). Следовательно,

отношение высоты к основанию Великой пирамиды дает нам соотношение, которое устанавливает порядок во всей последовательности.

Семена в подсолнухе расположены в виде изогнутых линий, которые пересекаются между собой. Самое большое количество пересечений равно 144. Кроме того, такое же число волн Мелкого уровня (Minor) составляют законченный цикл на фондовом рынке (бычьи и медвежьи рынки). [*Этот факт подробно рассматривается в Гл2 и Гл4, Рис7] Числа из данной последовательности присутствуют в человеческом теле, ботанике, производстве, животных, музыке и волнах, отражающих результат человеческой деятельности, включая фондовый рынок.

Пифагор, греческий философ пятого века до нашей эры посетил Египет и по возвращении обнаружил диаграмму и подпись к ней, представленные в Главе 2 [*Рис1].

Сноски

(1) Несомненно, весьма доказательно, чтобы быть иначе!

Глава II. Закон природы.

Закон природы был известен, по крайней мере, пять тысяч лет назад. Приблизительно к 1500 году до нашей эры Египет, самое древнее из современных государств, был в расцвете своих сил. Не известно, когда были построены Египетские пирамиды. Но Великая пирамида в Гизе была спроектирована, по меньшей мере, пять тысяч лет назад. Некоторые ученые выдвигают предположение, что она существовала до угрозы всемирного потопа, который заставил Ноя построить ковчег. Другие полагают, что ей может быть тридцать тысяч лет.

В журнале «Life» (от 3 декабря 1945 года) появилась весьма интересная статья под названием «Строительство Великой пирамиды». Господин Бел Геддес (Bel Geddes) подготовил примеры различных этапов строительства и представил их зарисовки. Отчет был подготовлен для энциклопедии «Britannica». В нем говорится, что общий вес использованных строительных материалов составляет 3 277 000 тонн, в то время как материалы, использованные в *Empire State Building*, самом высоком здании в мире, весят лишь 305 000 тонн.

Изумительная изобретательность, мастерство, время и труд, затраченные проектировщиками и строителями этих пирамид на возведение вечного символа, демонстрируют величайшую значимость того послания, которое они хотели передать потомкам. То был исторический период до возникновения литературы и иероглифов, следовательно, символические цифры были единственным средством записи.

В течение веков Египетские пирамиды основательно изучили, особенно в последние годы. Но насколько я понял, египтологи пропустили важный, возможно, самый важный символ. Я говорю о внешних линиях пирамиды в Гизе.

Пифагор (Pythagoras) был прославленным греческим философом пятого века до н.э. Старые энциклопедии дают детальное описание его деятельности. «Encyclopedia Britannica» приводит диаграмму и загадочную надпись, которая может быть единственной записью, оставленной им. Она была сделана по возвращении его в Грецию после продолжительного путешествия в Египет. Диаграмма и подпись [*Секрет вселенной] представлены на рисунке 1. Логично предположить, что диаграмма Пифагора относится к пирамиде.

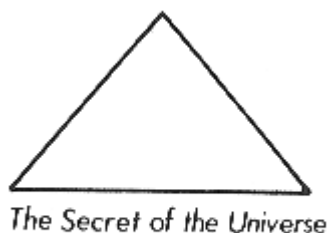


Рисунок 1

Установлены следующие первоначальные размеры Великой пирамиды в Гизе: основание 783.3 фута, высота 484.4 фута, их соотношение 61.8%. Высота 484.4 фута равна 5813 дюймам (5-8-13 Фибо).

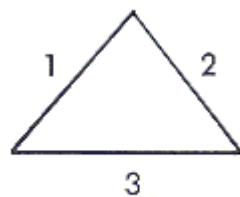


Рисунок 2

Глядя на пирамиду с одной из ее четырех сторон, видно 3 линии. Диаграмма на рисунке 2 является законченным циклом [*замкнутым контуром]. Осматривая пирамиду с одного из ее четырех углов, видно 5 линий, как показано на рисунке 3. У пирамиды 5 поверхностей – четыре над землей и основание. Со своей вершины пирамида открывает 8 линий, как показано на рисунке 4.

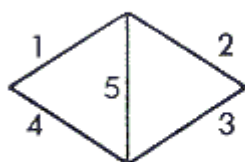


Рисунок 3

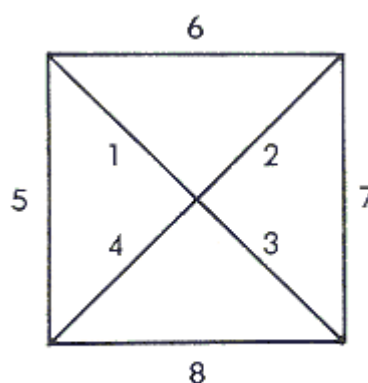


Рисунок 4

Фибоначчи (Fibonacci) был итальянским математиком тринадцатого века нашей эры. В то время он был лучше известен как Леонардо Пизанский (Leonardo de Pisa). Он посетил Египет и Грецию, а по возвращении в Италию опубликовал то, что сейчас известно в качестве арифметической прогрессии. Вот эта последовательность: 1 2 3 5 8 13 21 34 55 89 144...[*последовательность Фибоначчи; об этом ученом, опередившим время, читайте в июньском номере журнала «Market Times» за 2009 год - <http://market-times.brocompany.com/>].

Сумма любых двух соседних чисел равна следующему числу, например, $5 + 8 = 13$. Любое число, деленное на последующее, дает соотношение 0.618, например, $8 / 13 = 0.618$. Любое число, деленное на предыдущее, дает обратное значение 1.618 (соотношение чисел в начале ряда не совсем точно, но достаточно близко для практических целей). Для простоты я буду ссылаться на первое значение в виде 0.62, а на последнее как на 1.62.

Обратите внимание, что первые пять чисел последовательности Фибо 1, 2, 3, 5 и 8 присутствуют на детальной диаграмме пирамиды.

Недавно умерший Джей Хэмбидж (Jay Hambidge), американский художник, посетил Египет, Грецию и Италию и написал несколько весьма значительных и интересных книг. Я процитирую страницы 27 и 28 его книги под названием «Практическое применение динамической симметрии».

«Ботаники используют цветок подсолнуха в качестве одной из общих иллюстраций закона расположения листьев. Он является феноменом особенно в двумерной форме. Семечки распределены по кругу подсолнуха в ячейках ромбовидной формы, а совокупность этих ячеек

формирует узор интересных изогнутых линий, чем-то похожий на старинную резьбу на корпусе карманных часов. Эта конфигурация дугообразных линий является интересной особенностью расположения семян подсолнуха.

[*Для наглядности приведу ниже фото подсолнуха из инета]



Подсолнух.

Во-первых. Дугообразная линия сама по себе является кривой определенного вида. Собственно говоря, она в точности похожа на линию роста морской раковины. Она правильной формы и обладает определенными математическими свойствами. Эти свойства являются необходимым результатом единой формы роста, как будет сейчас показано.

Во-вторых. Если пересчитать дугообразные линии, то на обычном подсолнухе диаметром пять или шесть дюймов можно обнаружить 89 таких линий. Закручивающихся в одну сторону – 55 линий, а закручивающихся в другую сторону – 34. То есть, обычный цветок демонстрирует 55 линий, пересекающихся 34 линиями. Записываем два числа $34 + 55$. Ниже самого верхнего цветка на стебле обычно располагаются цветы второго уровня, меньшие по размеру. Как правило, число пересекающихся линий у них равно $21 + 34$. Еще ниже по стеблю могут располагаться цветы третьего уровня, выросшие последними. Число пересекающихся кривых у них равно $13 + 21$.

В Оксфорде (Англия) для получения подсолнухов необычно большого размера растения удобряют, и количество пересекающихся дуг увеличилось с $34 + 55$ до $55 + 89$. Профессор Артур Чёрч (Arthur H. Church), новый ведущий специалист по этому очаровательному предмету, рассказал нам о гигантском экземпляре подсолнуха, выращенного в Оксфорде, у которого количество пересекающихся кривых равнялось $89 + 144$.

В классификации растений наряду с множеством цветочных головок с зернами соседствуют цветы, у которых также просматриваются пересекающиеся линии в соцветии. Обычно их количество соответствует $5 + 8$.

Если мы начнем считать фактическое количество листьев на стебле с самого низа растения вверх до цветочной головки, обходя вокруг стебля, то мы обнаружим, что минуем определенное количество листьев прежде, чем достигнем того, который расположен непосредственно над первым. Это количество листьев и количество обходов вокруг стебля являются величиной постоянной между каждой парой листьев, расположенных непосредственно друг над другом. Эти числа будут относиться к той же последовательности, что и числа продемонстрированные подсолнухами и цветами.

Числа, которые мы упомянули, принадлежат к арифметической прогрессии, так как каждый член последовательности представлен суммой предыдущих членов данного ряда, в нашем случае суммой 2 членов. Вот этот ряд чисел: 1, 2, 3, 5, 8, 13, 21, 34, 55, 89, 144 и т.д. Каждый член этой последовательности получен путем сложения двух предыдущих чисел.

Если мы возьмем любые два [*соседних] члена данной прогрессии и разделим один на другой, скажем 55 на 34, то мы получим некий коэффициент, и этот коэффициент является величиной постоянной для всей последовательности; то есть, любое число этого ряда, деленное на число, которое непосредственно предшествует ему, даст тот же коэффициент. Этот коэффициент 1.618 с бесконечной дробью. Если мы выполним обратную операцию и разделим 34 на 55, то получим число 0.618 с бесконечной дробью. Далее будет отмечено, что данные два результата различаются на единицу.

Кроме того, будет отмечено, что при выполнении этих двух операций деления присутствует незначительная погрешность. Это объясняется тем фактом, что данная последовательность не совсем точна для целых чисел. Следовало бы включить небольшую дробную часть. Несмотря на эту погрешность, в случае наблюдения за растениями целые числа сохраняются, чтобы облегчить сопоставление.

Является исключительным совпадением, что коэффициент 1.618 или 0.618 совершенно пленил древних греков. Исключительным, потому что они могли и не предполагать, что этот коэффициент связан с архитектурой растений. Они называли его особенной и превосходной пропорцией.

Во времена Средневековья он был назван Божественным сечением, а совсем недавно – Золотым сечением.»

Опытным путем я установил, что 144 является наибольшим числом, имеющим практическое значение. В законченном цикле фондового рынка количество волн Мелкого уровня (Minor) равно 144, как показано в таблице ниже и на рисунке 7 (Гл4):

Количество волн	Бычий рынок	Медвежий рынок	Всего (законченный цикл)
Первичного уровня	5	3	8
Среднего уровня	21	13	34
Мелкого уровня	89	55	144

Все числа принадлежат ряду Фибоначчи и используется вся последовательность. Может меняться длина волн, но не их количество. Обратите внимание на числа Фибо в других областях:

- человеческое тело следует числам 3 и 5. От торса отходит 5 ответвлений – голова, две руки и две ноги. Каждая рука и нога подразделяется на 3 части. Ноги и руки оканчиваются пятью пальцами. Пальцы (кроме большого пальца ноги) подразделяются на три части. У нас 5 чувств.
- у обезьяны такое же строение, как и у человека, за исключением того, что большой палец ноги у нее такой же, как и на руке. У большинства животных от торса отходит 5 ответвлений – голова и четыре лапы, всего 5. У птиц от тела отходит 5 ответвлений – голова, две лапы и два крыла.
- Музыка: Самый лучший пример – клавиатура пианино. «Октава» – означает восемь. Каждая октава состоит из 8 белых клавиш и 5 черных, всего 13.
- Химические элементы: существует около 89 основных элементов.
- Цвета: существует 3 основных цвета. Их смешение дает остальные цвета.

Различные наблюдения

- Западное полушарие состоит из 3 областей: Северная, Центральная и Южная Америка.
- В западном полушарии находится 21 республика, каждая из которых является членом Всеамериканского Союза (Pan-American Union). В Северной Америке находится 3 страны: Канада, Мексика и Соединенные штаты. В Южной Америке находятся много республик и три Европейские колонии, всего 13. В Центральной Америке (прежний Панамский Канал) находится 5 республик.
- Первоначально Соединенные Штаты состояли из 13 штатов. В настоящее время они делятся на 55 административных единиц: 48 штатов, округ Колумбия, Филиппины, Зона Панамского канала, Пуэрто-Рико, Аляска, Гавайские острова и Виргинские острова.
- Под Декларацией Независимости стоят 56 подписей. Первоначальное количество – 55. Последняя была добавлена позже.
- Главные ветви Федерального Правительства: 3.
- Самый крупный салют в Армии: 21 орудие.
- Избирательный возраст: 21 год.
- Билль о правах содержит 13 пунктов.
- Цвета национального флага: 3.
- Страны Оси состояли из 3 партнеров. Германия поглотила 13 стран в стремительной последовательности, но забуксовала на четырнадцатой, России. Муссолини был диктатором 21 год.
- в 1852 году Командующий эскадрой Перри (Perry) совершил в Японию визит вежливости и призвал «Сына Небес» нарушить абсолютную изоляцию. В 1907 году, 55 лет спустя, Япония всерьез угрожала Соединенным Штатам. В 1941 году, 34 года спустя (и через 89 лет после 1852 года), Япония атаковала Пирл-Харбор.

Памятник Вашингтону в г.Вашингтон, округ Колумбия (первый камень был заложен 4 июля 1848 года):

[*Для наглядности приведу здесь фото из инета]



Памятник Вашингтону.

- Общая стоимость – \$1 300 000 (13 Фибо).
- Высота шпиля – 500 футов (5 Фибо).
- Высота основания памятника – 55 футов (55 Фибо).
- Площадь основание шпиля – 55 кв.футов (55 Фибо).
- Верхушка шпиля – 34 фута (34 Фибо).
- Ступени основания - 8 (8 Фибо).
- Окна (по два на каждой стороне) - 8 (8 Фибо).

[*Вероятно, к большинству приведенных здесь фактов нужно отнести, как к интересным совпадениям, и не более того.]

Глава III. Человеческая деятельность.

Выражение «человеческая деятельность» (1) включает в себя такие категории, как ценообразование акций и облигаций, выдачу патентов, цену на золото, численность населения, миграция населения из городов в сельскую местность и обратно, ценообразование биржевых товаров, правительственные расходы, промышленное производство, страхование жизни, производство электроэнергии, потребление бензина, ущерб от пожаров, стоимость членства на фондовой бирже, эпидемии и недвижимость. Основной интересующей нас категорией является цена на акции. В этой категории смогут разобраться все, по крайней мере, до некоторой степени.

Следует готовиться к «черному дню». За долговременным ростом, например, в таких областях, как строительство зданий, сохранность комплексов жилых зданий, дорог, мостов, фабрик, домов и т.д. следует ожидать циклического спада с достижением низких цен и для работников, и для работодателей. Колебания в экономическом благополучии неизбежны, как вращение Земли.

Сноски

(1) См. графики в последней главе книги «Закон волн».

Глава IV. Характерные особенности человеческой деятельности.

Всякая человеческая деятельность обладает тремя характерными особенностями – формой (pattern), временем и пропорцией – каждая из которых придерживается числовой последовательности Фибоначчи. Как только волны поддадутся распознаванию, эти знания можно применять к любому движению, поскольку те же самые правила применяются к ценам на акции, облигации, зерно, хлопок, кофе и к любой другой деятельности, упомянутой ранее.

Наиболее значимым из этих трех факторов является форма [*модель, pattern]. Какая-нибудь модель всегда находится в процессе формирования. Как правило, но не всегда, исследователь в состоянии заблаговременно представить себе вид модели. Такая возможность предоставляется типом предшествующей модели. См. Главу 8 «Чередование».

Идеальный график цикла на фондовом рынке показан на рисунках 5, 6 и 7. Первоначально он подразделяется на «бычий рынок» и «медвежий рынок». Рисунок 5 подразделяет бычий рынок на пять волн Первичного уровня (Major (1)), а медвежий рынок - на три волны Первичного уровня (Major). График бычьего рынка на рисунке 6 подразделяет волны [1], [3] и [5] (2) Первичного уровня (Major) на пять волн Среднего уровня (Intermediate) каждую. Рисунок 7 подразделяет волны 1, 3 и 5 Среднего уровня (Intermediate) на пять волн Мелкого уровня (Minor) каждую.

На рисунке 5 медвежий рынок подразделяется на три волны Первичного уровня (Major), обозначенных буквами [A], [B] и [C]. На рисунке 6 нисходящие волны [A] и [C] подразделяются на пять волн Среднего уровня (Intermediate). Восходящая волна [B] подразделяется на три волны Среднего уровня (Intermediate). На рисунке 7 эти волны Среднего уровня (Intermediate) подразделяются на пять волн Мелкого уровня (Minor).

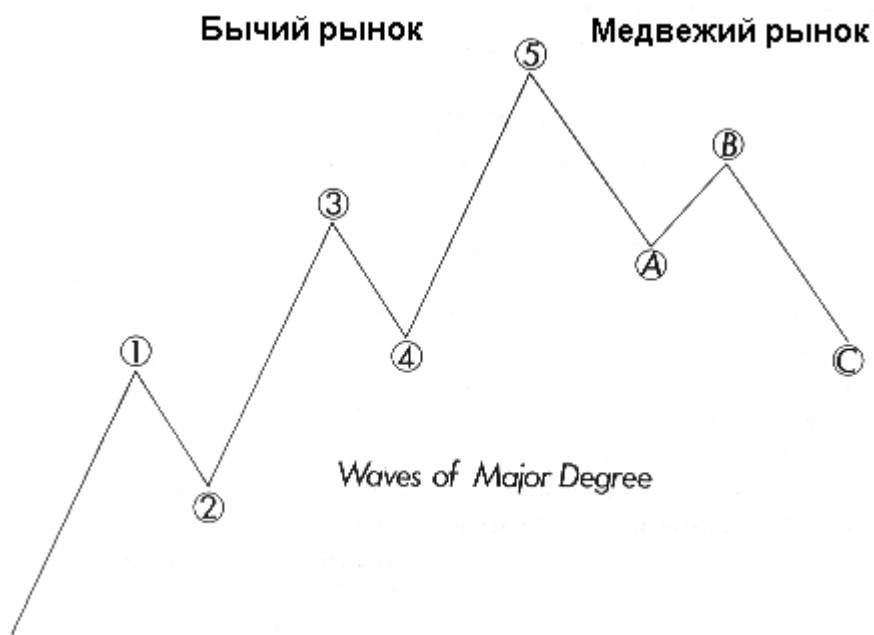


Рисунок 5

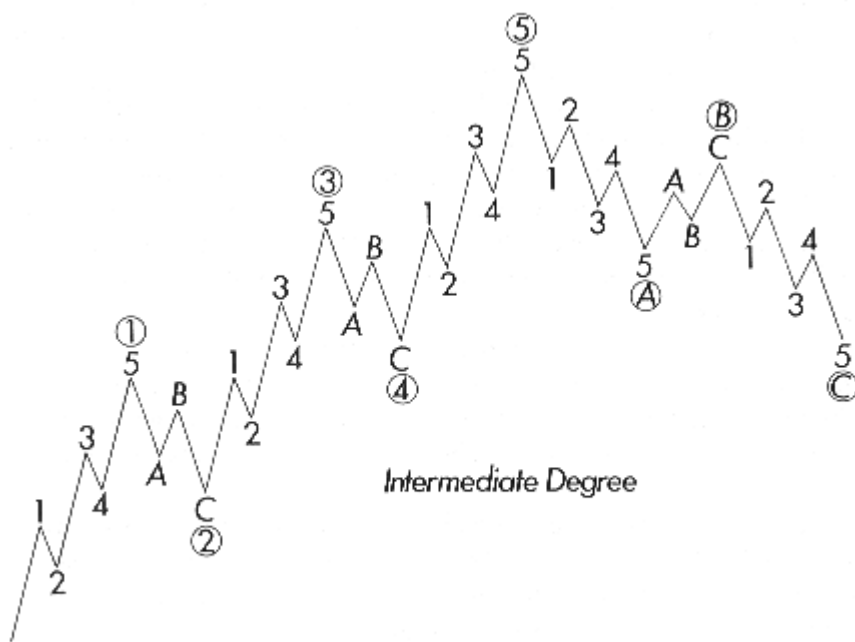


Рисунок 6

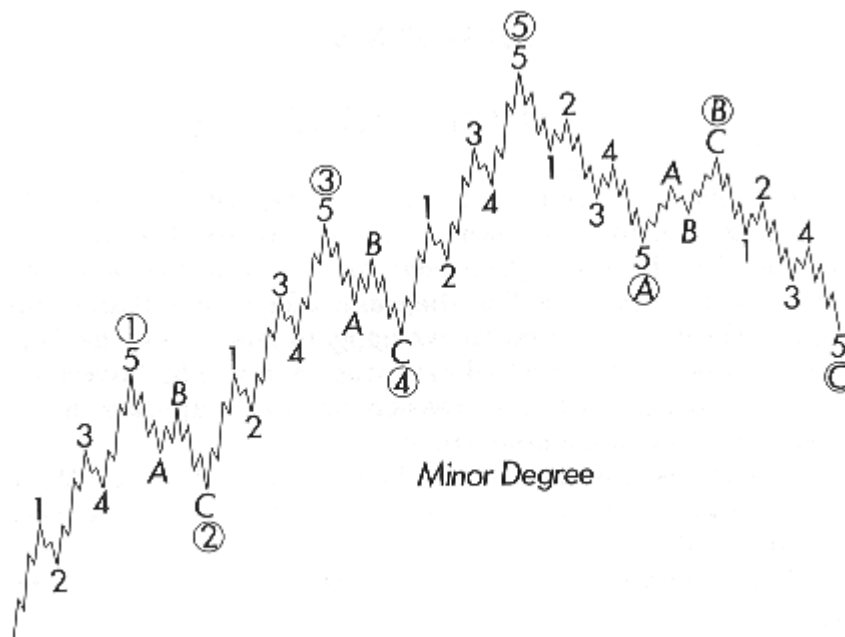


Рисунок 7

Другими словами, медвежий рынок является перевернутым бычьим рынком, за исключением того, что у медвежьего рынка три нисходящие волны Первичного уровня (Major), в то время как на бычьем рынке - пять восходящих волн Первичного уровня (Major). Коррекции и на бычьем, и на медвежьем участках наиболее сложны для изучения.

Поскольку открытия, описываемые здесь, не имеют аналогов, необходимо ввести новые термины. Для того, чтобы пояснить модели и термины, связанные с ними, будут показаны соответствующие идеальные графики для различных волновых уровней. Выражение «волновые уровни» («degree») имеет здесь, так сказать, связанное значение. Например, «Первичный» уровень («Major») связан с волнами на рисунке 5. «Средний» уровень («Intermediate») связан с волнами на рисунке 6. «Мелкий» уровень («Minor») связан с волнами, представленными на рисунке 7. См. Главу 2 по количеству волн.

Сноски

- (1) Термин «Главный» («Major») используется Эллиоттом в последующих нескольких главах в качестве заменителя термина «Первичный» («Primary»), который был введен в первой монографии.
- (2) Эллиотт усовершенствовал систему обозначений волн, представленной в первой монографии.

Глава V. Коррекции.

Независимо от направления и размера, модели коррекций остаются идентичными. На бычьем участке рынка формируются нисходящие или боковые коррекции. На медвежьем участке – восходящие или боковые коррекции. Поэтому схематичные рисунки коррекций будут представлены и для бычьего, и для медвежьего участков рынка. Схематичные коррекции, показанные первыми, относятся к восходящим участкам рынка. Последующие диаграммы – к нисходящим участкам и будут «перевернуты». Поэтому там, где встречается выражение «перевернуто», оно имеет отношение к нисходящему основному тренду.

На рисунках 5, 6 и 7 обращалось внимание, что существует три уровня волн: Первичный (Major), Средний (Intermediate) и Мелкий (Minor). Естественно, есть также и три уровня коррекций.

Существует три вида коррекций: зигзаг (1), волновая плоскость и треугольник.

Зигзаги

На рисунках 8, 9 и 10 представлены коррекции для восходящего тренда.

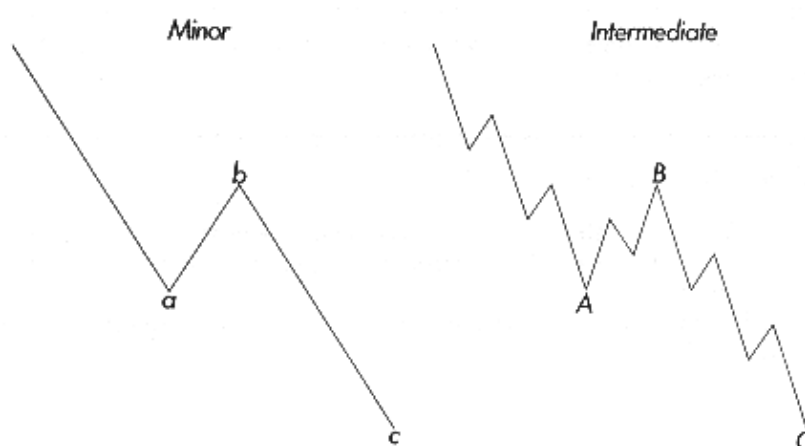


Рисунок 8

Рисунок 9

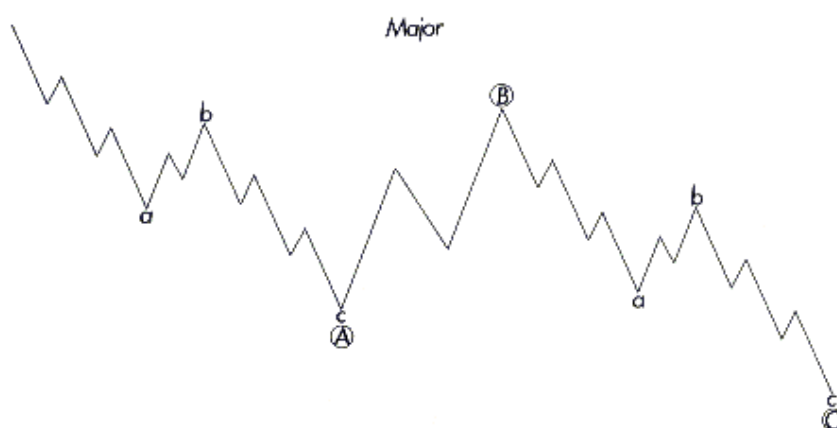


Рисунок 10

Рисунки 11, 12 и 13 перевернуты (коррекции для нисходящего тренда).

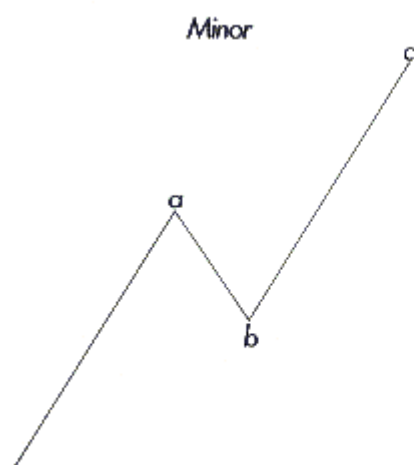


Рисунок 11

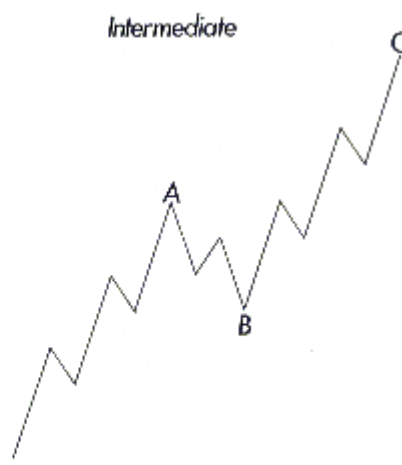


Рисунок 12

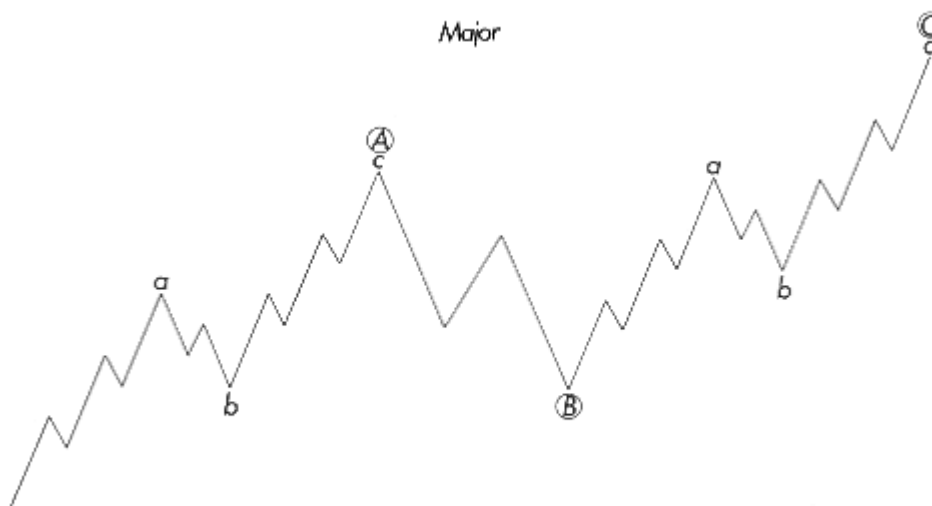


Рисунок 13

Волновые плоскости

На последующих иллюстрациях представлены волновые плоскости Мелкого (Minor), Среднего (Intermediate) и Первичного (Major) уровней (рисунки 14, 15 и 16) и перевернутые варианты (рисунки 17, 18 и 19). Этим схематичным изображениям дано название «плоскость» по той причине, что их обычная внешняя форма – горизонтальная. Временами они имеют нисходящий или восходящий наклон.

Собственно говоря, эти модели можно было назвать «3-3-5». По результатам последних исследований, они являются трех-волновыми моделями, т.е. А, В и С, в то время как бычья модель [*импульс] является моделью «5-3-5-3-5» для волн 1, 2, 3, 4 и 5.

Модель человека – «5-3-5-3». От торса отходят 5 выступающих частей (голова, две руки и две ноги); руки и ноги подразделяются на 3 части; концы рук и ног разделяются на 5 пальцев; каждый палец (кроме большого пальца ног) опять-таки разделяется на 3 части.

Будет ли волна С волновой плоскости удлинением или нет, но модель останется коррекционной. Тем не менее, сформируется ли удлинение в волне С можно узнать, внимательно прочитав Главу 8 «Чередование».



Рисунок 14

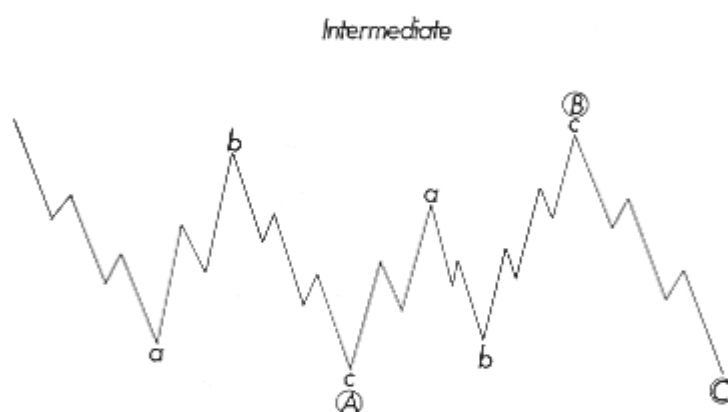


Рисунок 15



Рисунок 16

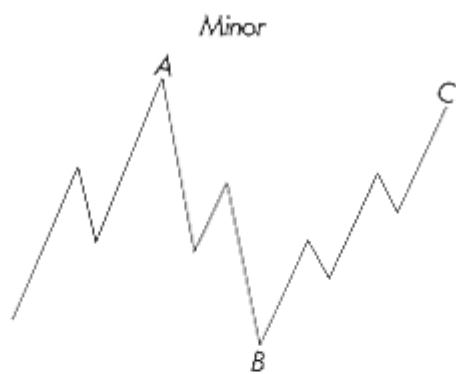


Рисунок 17

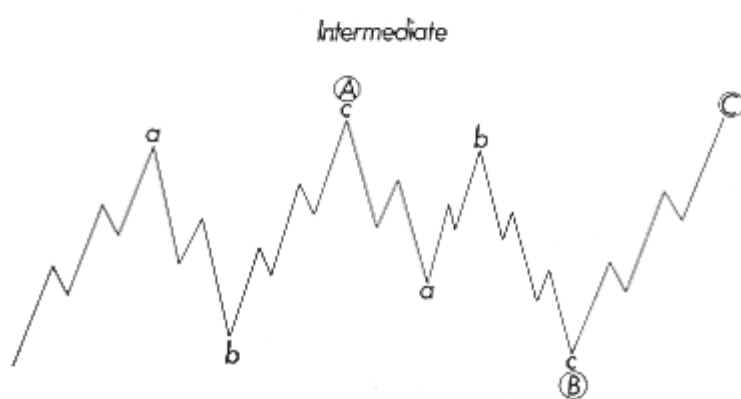


Рисунок 18



Рисунок 19

Сложные коррекции

Коррекция на Мелком волновом уровне (Minor) может состоять из трех волн, как показано на рисунках 20 и 21.



Рисунок 20

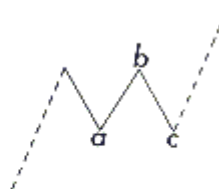


Рисунок 21

Двойная коррекция, формирующаяся вбок, может состоять из семи волн, как показано на рисунке 22. У тройной коррекции, развивающейся вбок, может быть одиннадцать волн, как показано на рисунке 23.

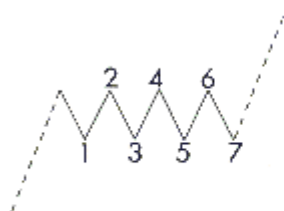


Рисунок 22

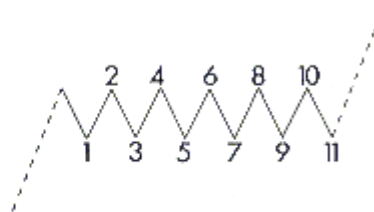


Рисунок 23

Другими словами, боковая коррекция восходящего тренда всегда заканчивается нисходящей волной (2), состоит ли она из одной, трех, семи или одиннадцати волн. Их называют так: три волны – это «одинарная тройка», семь волн – это «двойная тройка», а одиннадцать волн – «тройная тройка».

Такое же количество восходящих волн, как показано на рисунках 24, 25 и 26, является коррекционным.



Рисунок 24



Рисунок 25



Рисунок 26

Иногда эти тройки разнородны по направлению: восходящая и боковая или нисходящая и боковая, как показано на рисунках 27 и 28 (смешанные двойные тройки; (3)), а также на рисунках 29 и 30 (восходящие двойные тройки).

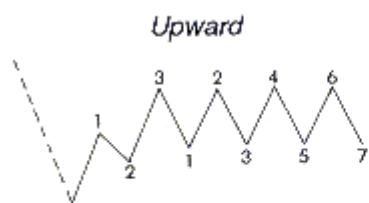


Рисунок 27



Рисунок 28



Рисунок 29

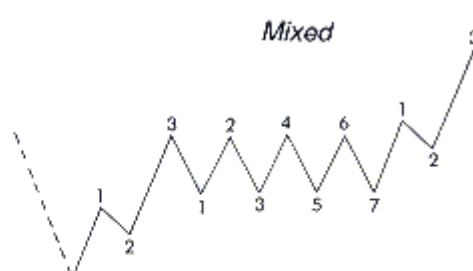


Рисунок 30

Треугольники

Треугольники состоят из пяти волн или лучше сказать из пяти отрезков (legs). В крупных образцах, каждый отрезок будет состоять из трех волн, как показано на рисунках 31 и 32.

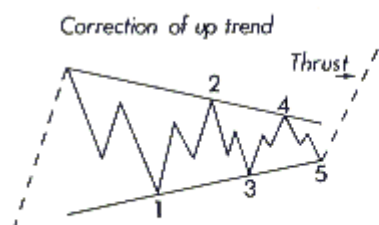


Рисунок 31

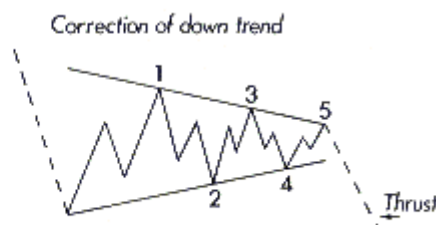


Рисунок 32

В образцах среднего размера четвертый и пятый отрезки могут состоять из одной волны каждый, как показано на рисунке 33. На мелких образцах отрезки часто состоят всего из одной волны. Основным ориентиром в формировании треугольника являются образующие, т.е., прямые линии, проведенные через его вершины. Нельзя быть уверенным в том, что формируется треугольник до тех пор, пока не начнется пятая волна.

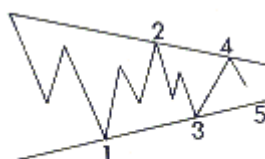


Рисунок 33

На рисунке 34 показаны три существующих типа треугольников (4).



Рисунок 34

Пятый отрезок может завершиться в пределах или вне пределов образующих треугольника (5), как показано на рисунках 35 и 36.

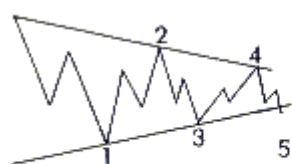


Рисунок 35

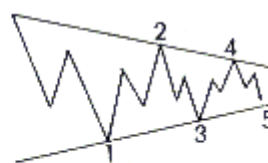


Рисунок 36

Пятая волна может состоять из трех волн, если только треугольник не слишком мал. В одном случае треугольник формировался всего семь часов. Самый большой треугольник, сформированный между ноябрем 1928 и апрелем 1942 года, длился тринадцать лет (6). Эта формация будет обсуждаться в других главах.

Движение, следующее за пятым отрезком треугольника, называется «бросок» [*«thrust»]. Оно будет состоять из пяти волн, и совпадет по направлению с отрезками 2 и 4 треугольника.

Треугольники встречаются нечасто. Когда они формируются, то занимают положение четвертой волны [*импульсного] восходящего или нисходящего движения любого волнового уровня, как показано на рисунках 37 и 38.

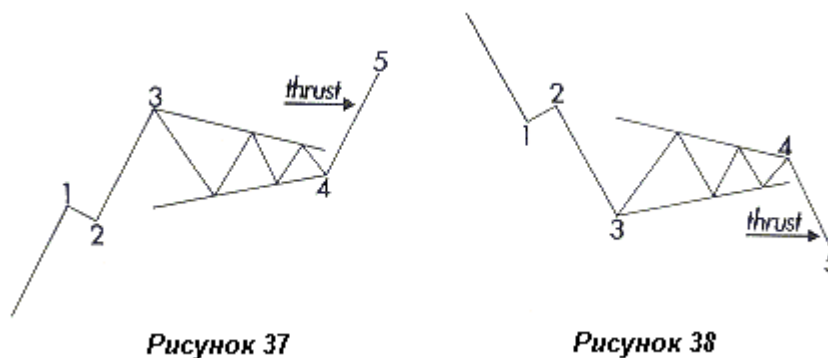


Рисунок 37

Рисунок 38

Пятая волна [*данного импульса], которая следует за треугольником, называется «бросок» («thrust») и состоит из пяти волн подобно волнам 1 и 3. Как показано выше, пятая волна продолжается дальше окончания волны 3 (рисунки 37 и 38).

Сноски

(1) В действительности, на рисунках 10 и 13 представлены «двойные зигзаги», которые Эллиотт рассматривает в главе 6. Или Эллиотт перепутал здесь иллюстрации, или он полагал, что двойные зигзаги более распространены на Первичном уровне, чем обычные зигзаги. Для иллюстрации истинного зигзага Первичного уровня, обратитесь к части [A]-[B]-[C] рисунка 7, а также к рисунку 27 книги «Закон волн».

(2) При подготовке рисунков 27 и 28 Эллиотт упустил это утверждение. Неумышленно он пропустил дополнительную «тройку» в каждой коррекции, и, следовательно, последующее движение не может быть возобновлением тренда, который был до коррекции.

(3) То же.

(4) Эти иллюстрации представляют восходящий, нисходящий и симметричный (сходящиеся) треугольники. По неустановленной причине Эллиотт не включил описание перевернутого симметричного вида (расходящегося треугольника).

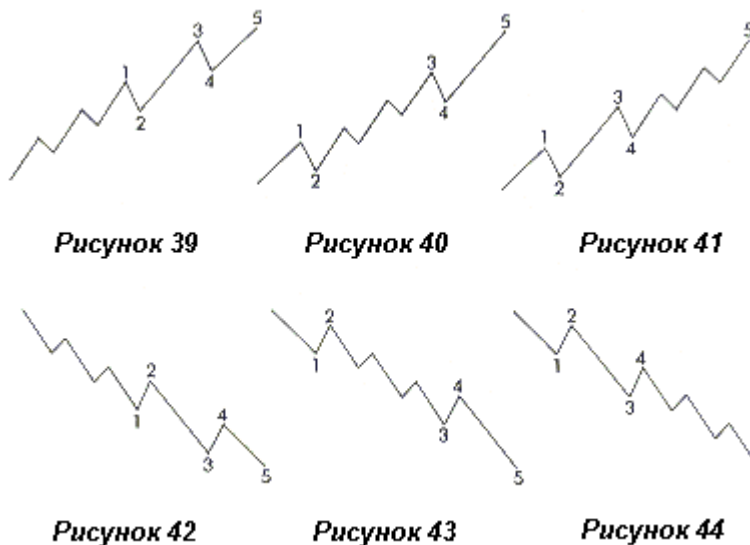
(5) Пятая волна треугольника может завершиться вне образующих треугольника, но не далее уровня окончания третьей волны треугольника.

(6) См. сноски 1-8 к Главе XI.

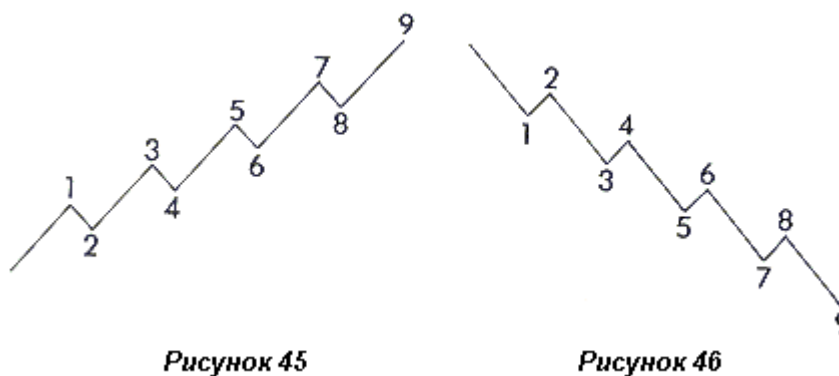
(7) Кроме того, их можно найти на месте волны В.

Глава VI. Удлинения.

Удлинение может сформироваться в любом одном из трех импульсов, т.е., волнах 1, 3 или 5, но никогда в *более*, чем одном, как показано на рисунках 39, 40 и 41 (для восходящего движения) и на рисунках 42, 43 и 44 (перевернуто).



Следует обратить внимание, что в каждом примере общее количество волн равно девяти, если удлинение считать в качестве пяти волн вместо одной. В редких случаях удлиненное движение может состоять из девяти волн равного размера, как показано на рисунках 45 и 46.



Удлинения формируются только на новой ценовой территории текущего цикла. То есть, они не формируются в качестве коррекций.

Удлинение в удлинении



Рисунок 47

[*К сожалению, Эллиотт привел пример удлинения в удлинении только для пятой волны импульса.]

Удлинение в волне 5 и двойной проход

По ценовому участку удлинения «проходят дважды», то есть, коррекция пройдет по одному и тому же ценовому участку два раза – вниз и вверх. Нет необходимости обсуждать эту особенность, когда удлинение формируется в первой или третьей волне; *только* тогда, когда удлинение развивается в пятой волне. Если удлинение формируется в первой волне, то двойной проход заведомо (1) можно увидеть в исполнении волн 2 и 3. Если удлинение формируется в третьей волне, то двойной проход можно увидеть в исполнении волн 4 и 5. Для иллюстрации удлинения в пятой волне и последующего двойного прохода см. рисунок 48.

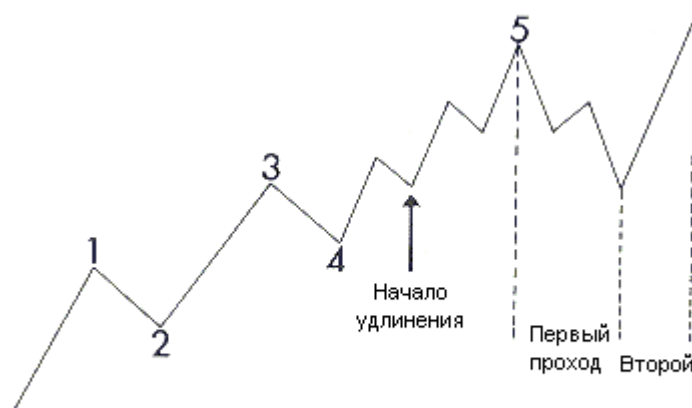


Рисунок 48

Если удлинение сформировано на меньших волновых уровнях, то откат наступает незамедлительно. Но если это Средний (Intermediate) или Первичный (Major) волновой уровень, двойной проход может не начаться до тех пор, пока полностью не завершится все восходящее движение. (2) Когда движение происходит с большой скоростью, то по той же ценовой области откат в обратном направлении выполняется почти с такой же скоростью.

Неправильная разметка

Три импульсные волны 1, 3 и 5 редко бывают одной длины. Одна из этих трех волн бывает значительно длиннее, чем любая из двух других. Важно отметить, что волна 3 никогда не бывает короче обеих (3) волн 1 и 5. Например, если волна 3 короче, чем или волна 1, или 5, как показано на рисунке 49, правильный способ разметки представлен на рисунке 50.

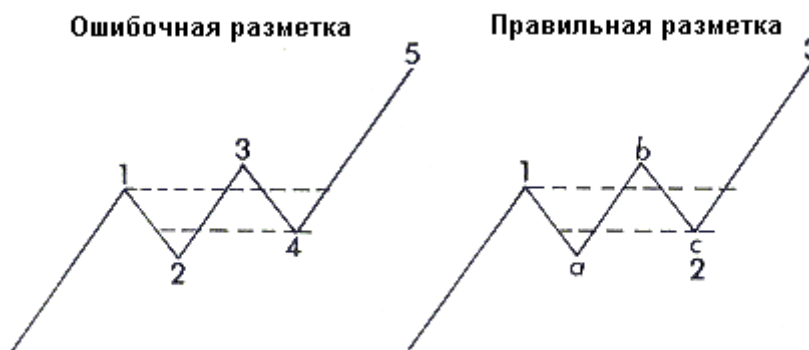


Рисунок 49

Рисунок 50

Обратите внимание, что волна 4 заходит на территорию волны 1, что ей не следует делать. Такой перехлест означает, что окончание волны 4 находится ниже, чем вершина волны 1. Перевернутый пример будет выглядеть так, как показано на рисунках 51 и 52.

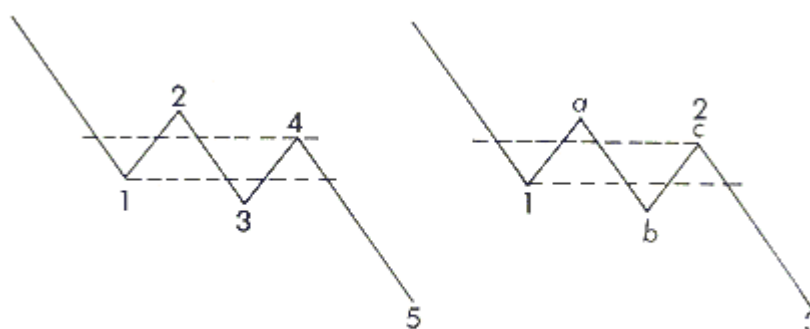


Рисунок 51

Рисунок 52

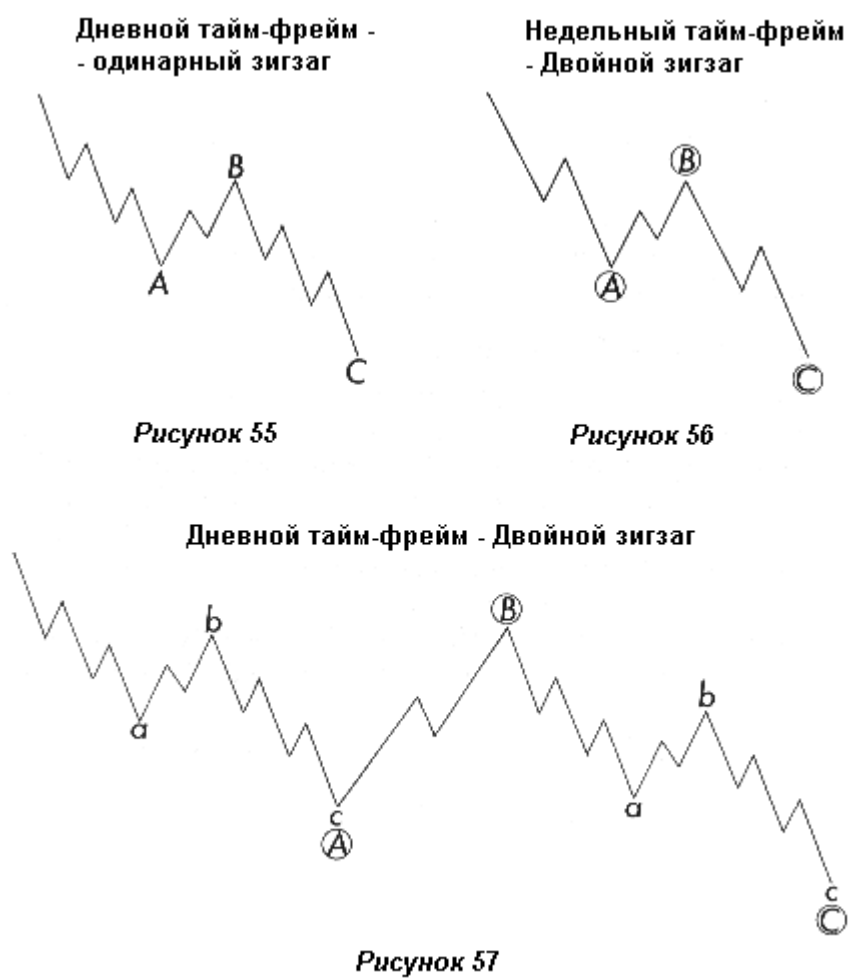
Перехлест в «сложной» волновой структуре требует тщательного изучения. Подчас сложные структуры формируют «двойные тройки» или «тройные тройки», как показано в главе 5.

Исследование коррекций на мелких тайм-фреймах

Весьма важно наносить на график дневные значения для того, чтобы знать, состоит ли первое восходящее движение из трех или пяти волн. Недельный тайм-фрейм может и не пролить свет на этот вопрос. Например, на рисунках 53 и 54 перевернутая волновая плоскость показана и на дневном, и на недельном графике. (5) Обратите внимание, что на недельном тайм-фрейме не раскрывается точная структура первой восходящей волны, и изучающий может ошибочно предположить, что она состояла из пяти волн на дневном графике. Может показаться, что недельный график перевернутой волновой плоскости состоит из семи волн, несмотря на то, что ее структура представляет собой А, В, (1, 2, 3, 4, 5) С, как показано на рисунке 53.



Подобная же ситуация может произойти и с зигзагом. Зигзаг не удлиняется, но при увеличении он может, так сказать, удвоиться, как показано на рисунках 56 и 57. Одинарный ли зигзаг или двойной, его коррекционные характеристики остаются прежними.



Боковые движения

Как было отмечено, все коррекционные движения независимо от волнового уровня состоят из трех волн. Боковые движения следуют такой же манере поведения и также являются коррекционными. Рисунок 58 представляет два вида боковых движений (б), следующих за восходящим трендом. На рисунке 59 основной тренд – нисходящий.

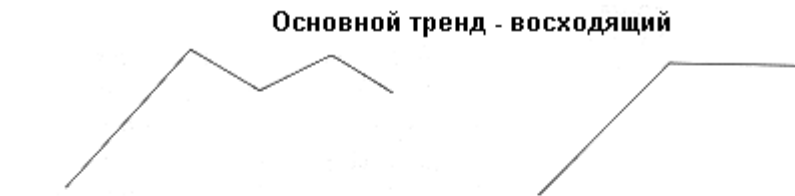


Рисунок 58

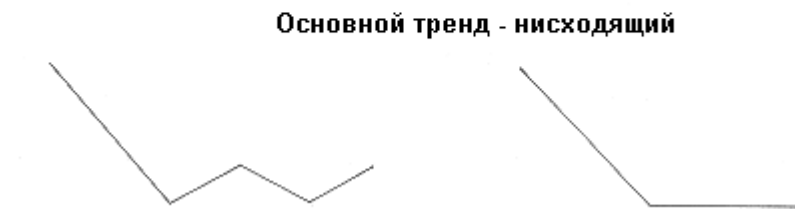


Рисунок 59

Сноски

- (1) Несомненно, *часть* удлинения в первой или третьей волне будет пройдено дважды, но это будет выполнено не в такой манере, как в случае с пятой волной. Только после удлинения в пятой волне откат доходит до вершины второй волны удлинения.
- (2) Волновой уровень не оказывает влияние на модели. Данное утверждение относится к вершине растянутой волновой плоскости, за которой предположительно *последовал* двойной проход, и является результатом необычной разметки Эллиоттом периода 1928-1930 г.г.
- (3) Он имеет в виду «короче, чем волна 1, и короче, чем волна 5».
- (4) То же самое.
- (5) Эти модели едва ли являются волновой плоскостью по внешней форме. Общий контур предполагает двойной зигзаг. Вероятно, этот материал является результатом склонности Эллиотта размечать удлиненные пятые волны там, где фактически удлиняется третья волна, тем самым оставляя пару «дополнительных» волн в конце [**движения*], которые он маркирует в качестве А и В.
- (6) Первый пример на рисунках 58 и 59 является волновой плоскостью. Второй просто показывает облик некой волновой плоскости, но тайм-фрейм достаточно большой, чтобы увидеть ее детали.

Глава VII. Вершины растянутой волновой плоскости.

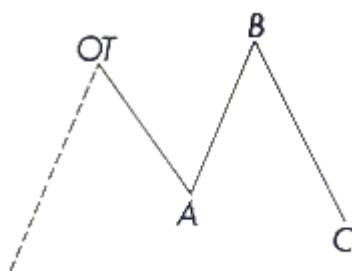


Рисунок 60

Движение, которое превышает вершину пятой волны (OT – orthodox top - ортодоксальную вершину) является вершиной растянутой волновой плоскости (см. рисунок 60). (1) Предположим, пять восходящих волн на рисунке 61 относятся к Первичному волновому уровню. Вершина пятой волны может быть ортодоксальной вершиной (OT). Первое нисходящее движение из вершины 5, вероятно, будет состоять из трех волн и может быть обозначено в качестве волны «А». Следующее движение, вероятно, будет восходящим и может превысить вершину волны 5. Это движение следует обозначить буквой «В». Как и волна А оно может состоять из трех волн. Последующее движение, вероятно, будет пяти-волновым нисходящим движением и может быть обозначено волной «С».

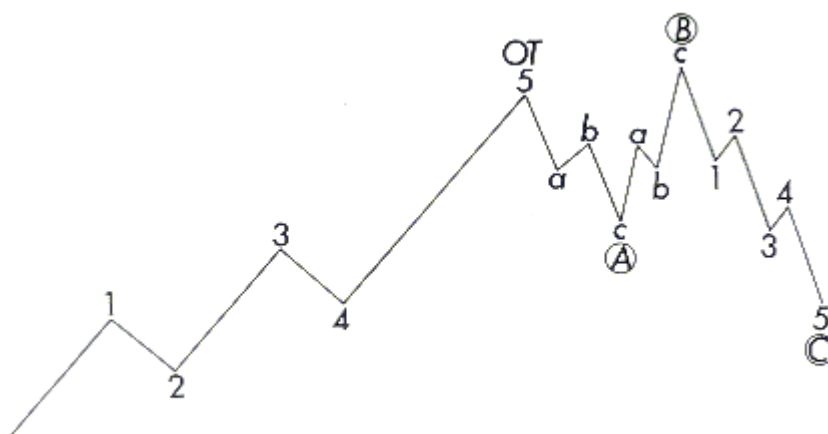


Рисунок 61

Волны А, В и С - все они составляют *единую* коррекцию, несмотря на тот факт, что окончание волны В, может быть выше, чем волна 5. Подобная структура была сформирована между ноябрем 1928 и июлем 1932 года. (2) Очень важно полное понимание этой особенности.

Если волна А является простым зигзагом, то волна В может быть перевернутой волновой плоскостью. Это тот случай, когда правило чередования подает сигнал. «Чередование» – тема следующей главы.

Сноски

(1) Это просто более высокое ценовое значение, образованное волной В растянутой волновой плоскости.

(2) См. сноску (5) к главе IV.

Глава VIII. Чередование.

Согласно словарю, чередование – есть «появление или воздействие двух объектов или серии объектов по очереди». Чередование – это закон природы. Например, листья или ветки появляются сначала на одной стороне стебля, а затем на противоположной стороне, меняя свое положение. Строение человеческого тела следует следующему правилу: 5-3-5-3. Можно было бы привести бесконечный список примеров, но тема данной главы – характер поведения чередования в области человеческой деятельности.

Чередуются бычьи и медвежьи рынки. Бычий рынок состоит из пяти волн, а медвежий – из трех. Таким образом, чередуются пять и три. Одно и то же правило действует на всех волновых уровнях.

Бычье движение состоит из пяти волн. Волны 1, 3 и 5 являются восходящими. Волны 2 и 4 – нисходящими или боковыми. Таким образом, нечетные числа чередуются с четными.

Волны 2 и 4 являются коррекционными. В этих двух волнах чередуются модели. Если волна 2 является «простой», то волна 4 может быть «сложной» и наоборот. «Простая» коррекция на младших волновых уровнях состоит из одной нисходящей волны. «Сложная» - состоит из трех нисходящих или боковых волн. См. рисунки 62 и 63.

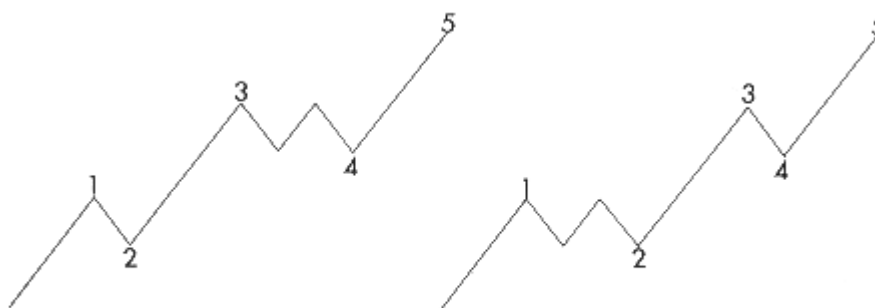


Рисунок 62

Рисунок 63

На старших волновых уровнях, на длительных бычьих и медвежьих рынках коррекционные волны соответственно крупнее и подготовка к завершающему падению зачастую является весьма утомительной. Сначала проявляется более-менее значительное нисходящее движение, которое я маркирую заглавной **А**. За ним следует восходящая волна, обозначенная в качестве волны **В**. Третье и последнее движение вниз является волной **С**. Волна **А** может быть зигзагом. В этом случае волна **В** может быть перевернутой волновой плоскостью. Если волна **А** является волновой плоскостью, то волна **В** может быть перевернутым зигзагом. (В любом случае, волна **С** будет состоять из пяти нисходящих волн. Она может быть мощной, и может достичь начальной точки предыдущего бычьего рынка.) Таким образом, волны **А** и **В** чередуются.

Тринадцатилетний треугольник демонстрирует еще один пример чередования. С ноября 1928 года по 31 марта 1938 года сформирована волновая плоскость. (1) С 31 марта 1938 года по октябрь 1939 года – перевернутый зигзаг. С октября 1939 года по май 1942 – сформирована волновая плоскость. (2)

[*См. рисунок 71 из главы X. Для наглядности приведу его ниже. Волны [1]-[2]-[3] в данном варианте автор считает волновой плоскостью. Оба варианта подробно разбираются в главе XI.]

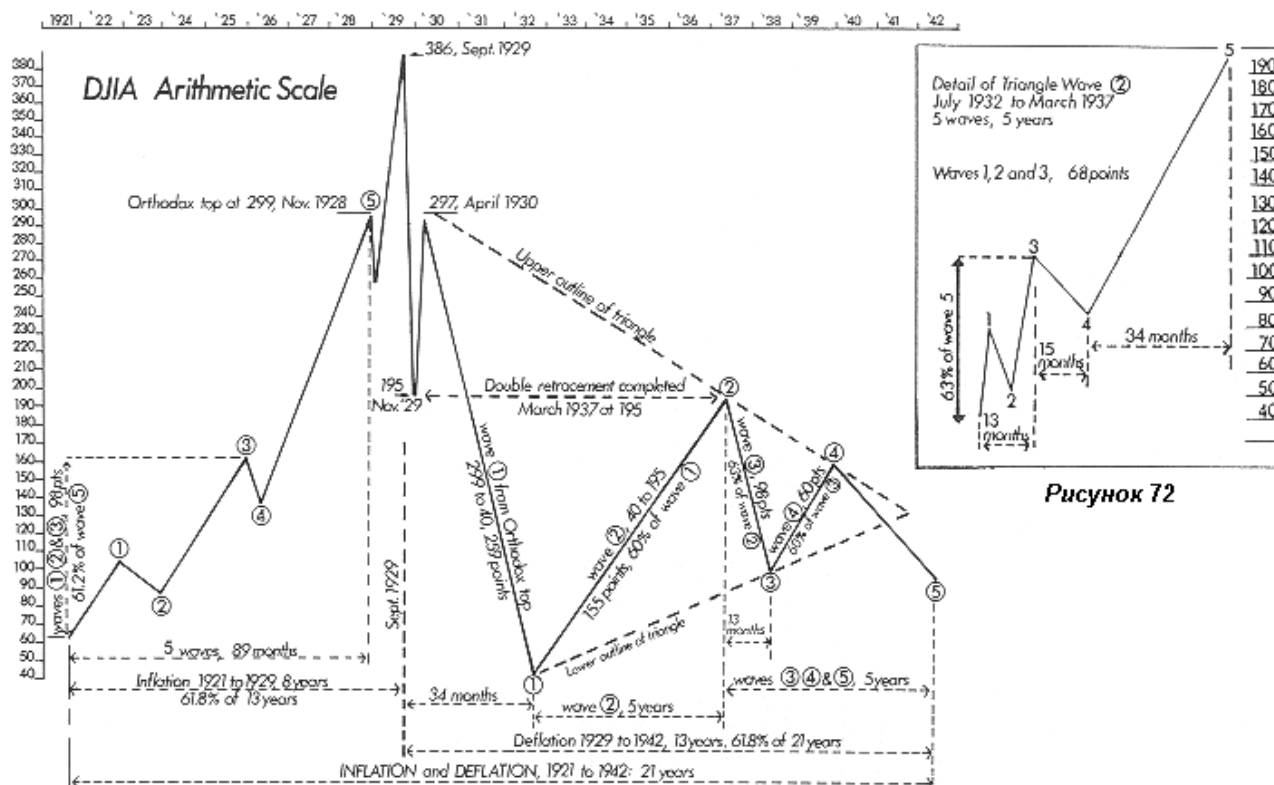


Рисунок 71

Рисунок 72

Вершина растянутой волновой плоскости – это один из случаев, когда волна **В** превышает вершину пятой волны предыдущего бычьего рынка, как пояснялось в Главе 7. Даже здесь присутствует чередование. Вершина 1916 года была вершиной растянутой волновой плоскости, 1919 года – обычная, 1929 года – вершина растянутой волновой плоскости, 1937 года – обычная.

Вплоть до 1906 года железнодорожный индекс Доу опережал в восходящих движениях [*промышленный индекс DJIA]. В течение 34 лет (Фибо) с 1906 по 1940 год в восходящих движениях лидировал промышленный индекс Доу. С 1940 года вновь лидирует железнодорожный индекс.

Сноски

- (1) См. сноски (4) и (5) к главе XI книги «Закон природы».
- (2) В действительности этот участок или «пятерка», или содержит часть треугольника в составе волны **В**, а затем следует пяти-волновая **С**. Или разметка завершает **А-В-С** с 1937 года. См. Сноску 8 к Главе XI книги «Закон волн».

Глава IX. Шкалы.

Практическое применение только полулогарифмической или только арифметической шкалы является неправильным и лишает исследователя смысла и преимущества этих шкал. Всегда следует применять арифметическую шкалу до тех пор, пока не потребуется логарифмическая.

Во время восходящего пяти-волнового движения «базовая линия» строится по вершинам волн 2 и 4, а затем через вершину волны 3 проводится «параллельная линия». Пример представлен на рисунке 64.

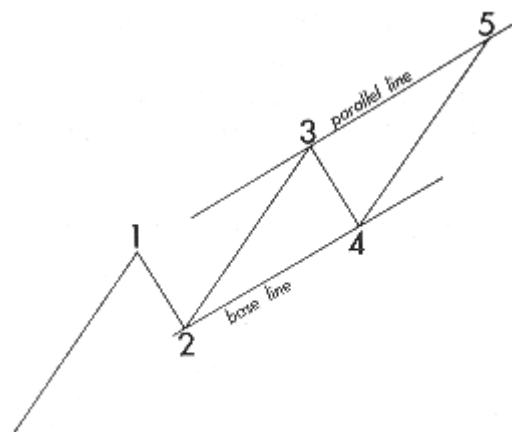


Рисунок 64

Как правило, волна 5 может завершиться приблизительно у параллельной линии, если применяется арифметическая шкала. Тем не менее, если волна 5 значительно превысила параллельную линию, а структура волны 5 показывает, что она еще не завершила свою модель, тогда все движение от начала волны 1 следует представить с помощью полулогарифмической шкалы. Окончание волны 5 [*в этом случае] может достичь, но не превысить параллельную линию. Например, если одну и ту же волновую конструкцию представить с помощью обеих шкал, то график может выглядеть, как показано на рисунках 65 и 66.

Когда наблюдается прорыв (inflation (1)), возникает необходимость в полулогарифмической шкале. Если применяется полулогарифмическая шкала, а прорыва нет, то волна 5 может значительно не дойти до параллельной линии, как показано на рисунке 67.

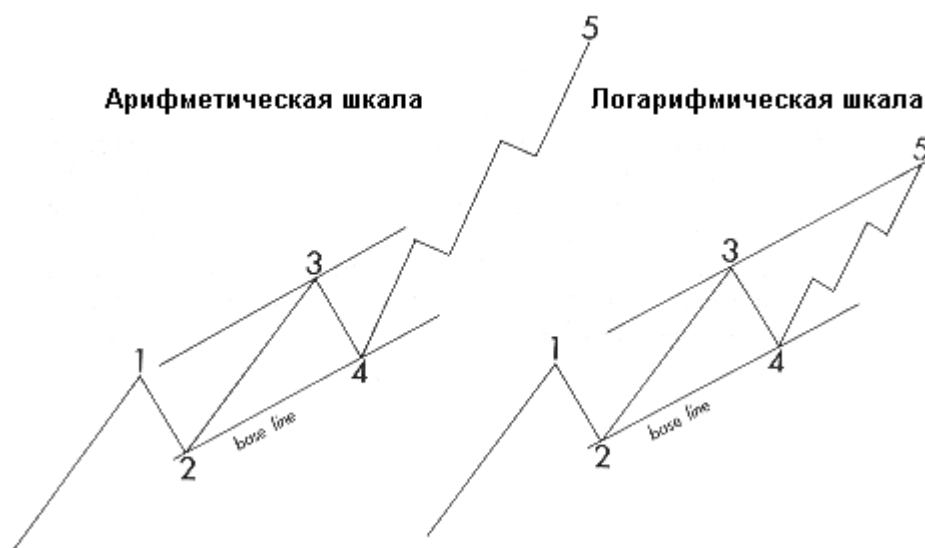


Рисунок 65

Рисунок 66

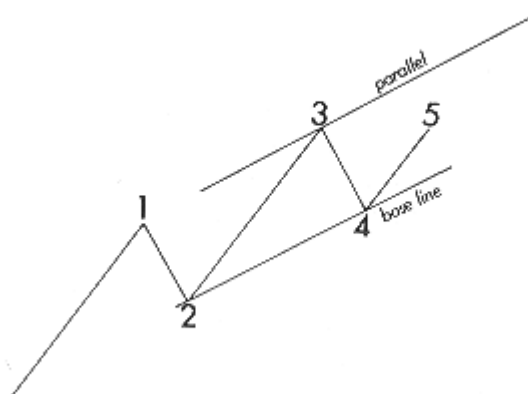


Рисунок 67

Сноски

(1) «Инфляция» («Inflation»), как позже Эллиотт даст определение в главе 12, является не денежной инфляцией, к какой мы привыкли (см. сноску 1 к главе XII). [*Я позволил перевести данный термин, как «прорыв», что наиболее точно передает его смысл в данном контексте.]

Определяющим фактором в применении арифметической или логарифмической шкалы является просто форма волны. Если арифметическая шкала правильно отражает форму, то движение измеряется в пройденных *пунктах*. Если форма правильно отражается в логарифмической шкале, то пройденное движение отслеживается в относительных *процентах*. Каждый может взять один и тот же участок графика, и разметить на нем идеальные волны Эллиотта, как с использованием арифметической шкалы, так и с использованием логарифмической.

Глава X. Примеры.

Наглядная демонстрация Закона волн на предыдущих страницах была сделана для того, чтобы облегчить понимание следующих графиков. (1)

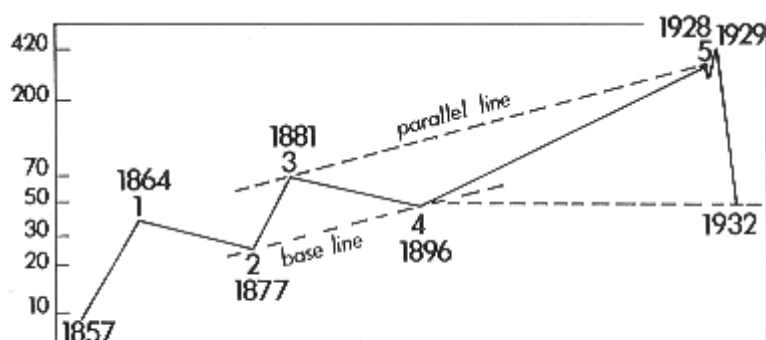


Рисунок 68

На рисунке 68 представлен индекс Ахе-Houghton-Burgess с 1857 по 1932 год на полулогарифмической шкале. Это самый крупный волновой уровень, для которого есть данные. Обратите внимание на пять волн с 1857 года по ноябрь 1928 года. Кроме того, обратите внимание, что базовая линия проведена по вершинам волн 2 и 4, а параллельная линия – через вершину волны 3. Окончание волны 5 касается параллельной линии в ноябре 1928 года.

Все движение целиком представляло собой прорыв вверх; следовательно, была необходима полулогарифмическая шкала. Тем не менее, при нанесении на отдельные графики нескольких бычьих рынков вполне подходила арифметическая шкала.

Заметьте, что падение до 1932 года как раз достигло начала волны 5 1896 года. Именно на низшей отметке 1896 года прекратилось падение 1929-1932 годов – другими словами, *стандартная коррекция*. Незнание прошлой истории является причиной ошибочного использования термина «Великая депрессия», и, следовательно, подчеркивает в этом жизненную важность истории, как и всех других проявлений человеческой деятельности.

На рисунке 69 представлена детальная структура волны 5 с рисунка 68 и использованием полулогарифмической шкалы. Она разделяется на пять волн следующего меньшего уровня.

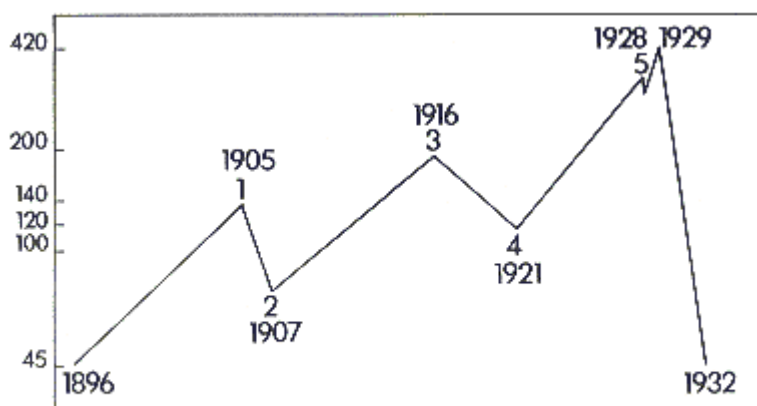


Рисунок 69

На рисунке 70 представлен график индекса DJIA за период с 1921 по 1928 годы с использованием полулогарифмической шкалы. Обратите внимание, что базовая линия проведена по вершинам волн 2 и 4, а параллельная линия – через вершину волны 3. Волна 5 как раз касается этой линии.

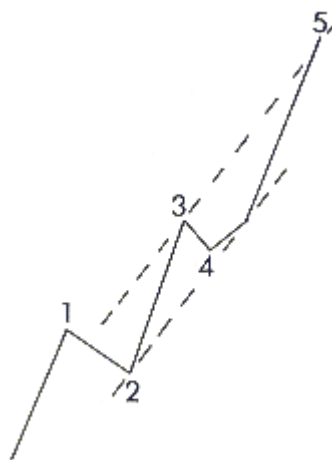


Рисунок 70

Движение с 1857 года по ноябрь 1928 состоит из пяти волн, как показано на рисунке 68. Пятая волна с 1896 года подразделяется на пять волн, как показано на рисунке 69. Пятая волна этого движения, начинаясь в 1921 году, опять разделяется на пять волн, как показано на рисунке 70. Другими словами, все движение с 1857 года подразделяется на три уровня.

На рисунке 71 представлен график индекса DJIA с использованием арифметической шкалы и снова (2) длина волн 1 и 3 составляет 62% от волны 5.

С 1857 по 1928 год сформировалось семь бычьих рынков и шесть медвежьих, всего – 13 (Фибо). (3) Все бычьи рынки с 1857 по 1928 год были *обычными* по протяженности. Не забудьте, что с 1921 по 1928 год было три бычьих рынка и два медвежьих, а не один бычий. Эти два медвежьих рынка были *необычными* по протяженности.

Фактор времени весьма важен, потому что он, как правило, подтверждает модель и соответствует модели. Например, с 1928 по 1942 – 13 лет (Фибо). С 1937 по 1942 – 5 лет (Фибо). Оба периода завершаются одновременно. Все движение с 1928 по 1942 год представляет собой одну модель – треугольник. Каждая волна треугольника равна 62% от предыдущей. Все три фактора – модель, время и соотношение волн – идеальны и соответствуют ряду и коэффициентам Фибоначчи. См. рисунок 71.

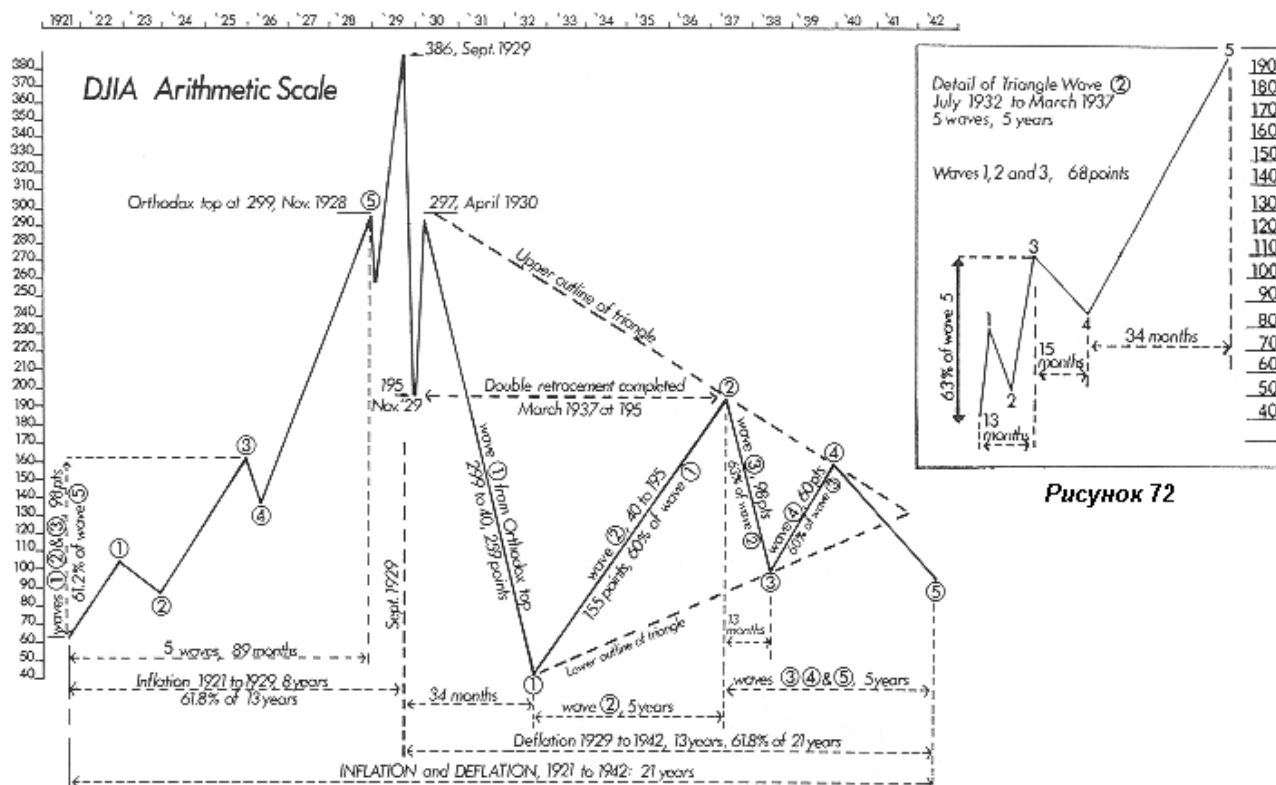


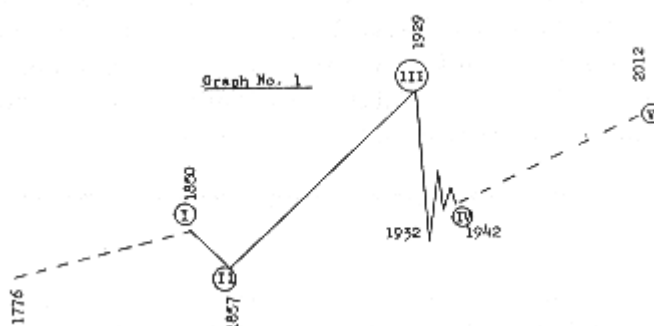
Рисунок 72

Рисунок 71

В предыдущих главах был изложен Закон природы. Числа из ряда Фибо применяются тремя способами: количество волн, время (количество дней, недель, месяцев или лет) и соотношение чисел из ряда Фибо, 62%.

Сноски

(1) Чтобы представить обзорную картину на Главном волновом уровне (Grand Supercycle), см. рисунок #1 из заметки «Будущая модель рынка», так же как и рисунок 98 в конце этой книги. [*Для наглядности приведу их ниже.]



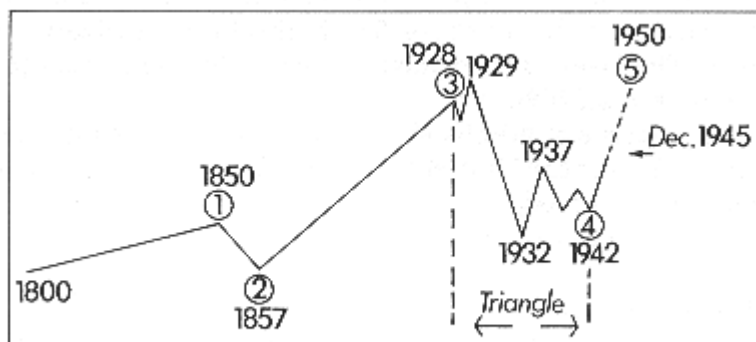


Рисунок 98

- (2) «Снова» подразумевает восходящий рынок, представленный на рисунке 69, и подъем в 1932-1937 годах, представленный на рисунке 72. Просто поразительное повторение.
- (3) Вероятно, Эллиотт принимает первую восходящую волну в качестве одного бычьего рынка, а третью и пятую восходящие волны – в качестве трех бычьих рынков каждую.

Глава XI. Тринадцатилетний треугольник. (1)

Значение ортодоксальной вершины в ноябре 1928 года равно 299; дно 1932 года равно 40; чистое падение соответствует 259 пунктам. Чистый подъем от значения 40 в 1932 году до значения 195 в 1937 году составляет 155 пунктов. Соотношение 155 к 259 равно 60%.

От ортодоксальной вершины в ноябре 1928 года по июль 1932 года сформировалась волна [1] тринадцатилетнего треугольника. С июля 1932 года по март 1937 года образовалась волна [2] этого же треугольника, как показано на рисунке 71. С марта 1937 года по март 1938 года – волна [3] данного треугольника.

Индекс Доу поднялся до отметки 195 в марте 1937 года, но не из-за волновой модели, соотношения волн и времени. [*Видимо, Эллиотт хотел подчеркнуть здесь яркое проявление так называемого двойного прохода] Подъем с 1921 по 1928 год являлся удлинённой пятой волной, которая началась в 1896 году. Как было изложено в Главе 6, по ценовому участку удлинения «проходят дважды». Падение к отметке 195 с сентября по ноябрь 1929 года было частью первого прохода. Подъем с отметки 40 до значения 195 в период 1932-1937 годов завершил двойной проход. (2) Обратите внимание на встречу цен у отметки 195 в ноябре 1929 и марте 1937 года на рисунке 71.

Следует подчеркнуть, что размер движения с 1932 по 1937 годы в 155 пунктов был необычным бычьим рынком. (3) На его протяженность повлияли четыре мощных технических фактора, описанных выше, т.е.:

- Необходимость скорректировать на 62% нисходящее движение с отметки 299 в ноябре 1928 до значения 40 в июле 1932 года.
- Завершить двойной проход удлинения 1921-1928 годов.
- Фактор времени, шестьдесят месяцев или 5 лет.
- Волновая модель.

Действительно, это движение подчинялось четырем факторам – волновой модели, величине пробега, двойному проходу и фактору времени – каждый из которых опирался исключительно на числа Фибо.

Соотношение длин волн за период 1921-1928 годы таково, что подъем волн [1] и [3] составляет 98 пунктов или 62% от волны [5] в 160 пунктов.

Обратите внимание, что горизонтальные линии в нижней части рисунка 71 и 72:

- с 1921 (начало прорыва) по 1942 год (конец прорыва): 21 год.
- с 1921 по 1929: 8 лет (62% от 13).
- с июля 1921 по ноябрь 1928: 89 месяцев.
- с сентября 1929 по июль 1932: 34 месяца.
- с июля 1932 по июль 1933: 13 месяцев.
- с июля 1933 по июль 1934: 13 месяцев.
- с июля 1934 по март 1937: 34 месяца.
- с июля 1932 по март 1937: 5 лет.
- с марта 1937 по март 1938: 13 месяцев.
- с марта 1937 по апрель 1942: 5 лет.
- с 1929 по 1942 год: 13 лет (62% от 21 года).

Описание моделей треугольников было сделано в Главе 5. Треугольник, сформированный между ноябрем 1928 (ортодоксальная вершина) и апрелем 1942, представляет собой симметричный вид. Он отличается от обычного вида, поскольку состоит из двух моделей – волновой плоскости и зигзага. Первой была волновая плоскость, затем зигзаг и вновь волновая плоскость. (4) Это было неизбежно из-за его огромных размеров, чередования моделей, необходимости подъема в 1937 году к отметке 195 чтобы завершить второй проход удлинения 1921-1928 годов, необходимости завершения модели к 1942 году (21 год с 1921 года), необходимости поддержать соотношение в 62% и необходимости сформировать откат пятой волны 1896-1928 годов, каждая из причин является весьма важной.

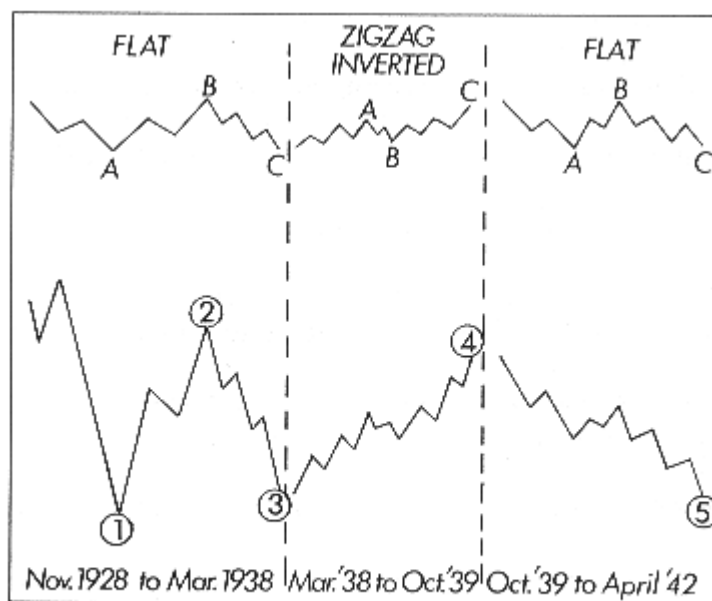


Рисунок 73

Тринадцатилетний треугольник 1928-1942 годов состоял из трех моделей, как показано ниже:

- с ноября 1928 по март 1938: волновая плоскость (5) (волны [1], [2], [3] треугольника).
- с марта 1938 по октябрь 1939: перевернутый зигзаг (волна [4] треугольника).
- с октября 1939 по апрель 1942 года; волновая плоскость (волна [5] треугольника).

Обратите внимание на чередование моделей: плоскость, зигзаг, плоскость. И плоскость, и перевернутый зигзаг описываются в Главе 5. Они и соответствующие волны треугольника воспроизведены на рисунке 73.

На рисунке 74 представлен месячный график с арифметической шкалой индекса Доу (DJA) с ноября 1928 по апрель 1942 года.

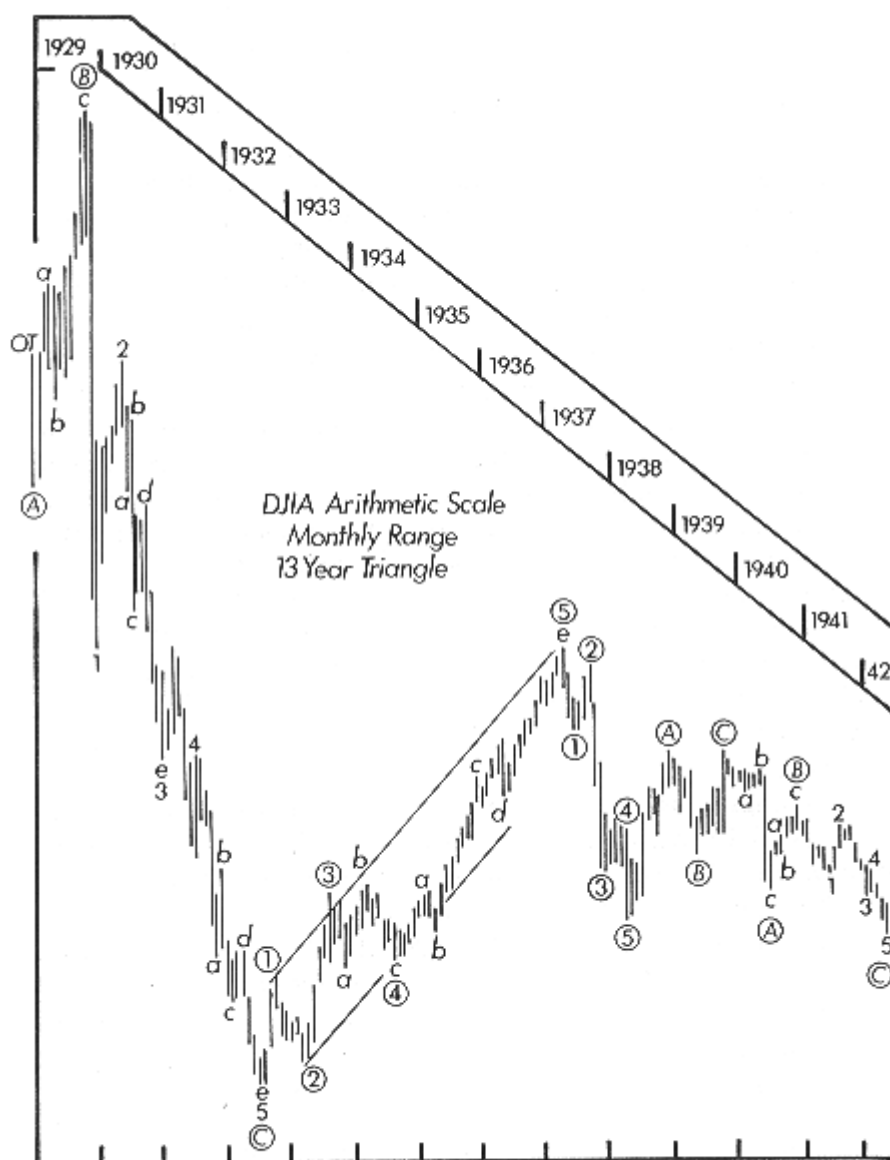


Рисунок 74

Волна [1] треугольника с 1928 по 1932 годы состоит из волн [A], [B], [C]. Волна [A] состоит из трех нисходящих волн с ноября по декабрь 1928. Они были стремительными, поэтому видны только на дневном тайм-фрейме. Волна [B] в форме перевернутой волновой плоскости формирует вершину растянутой волновой плоскости старшего уровня. Волна [C], длительностью в 34 месяца, состоит из пяти нисходящих волн с сентября 1929 по июль 1932 года (обозначена на графике цифрами).

Волна [2] треугольника с 1932 по 1937 год представляет собой типичную бычью модель, так как состоит из пяти волн. (6) Тем не менее, из-за ее необычного размера, ее можно идентифицировать в качестве перевернутой волновой плоскости (7) очень крупного размера, поскольку она формирует часть коррекционной структуры. Волна [2] длилась 5 лет.

Волна [3] треугольника была нисходящей пяти-волновкой и длилась 13 месяцев. Поэтому волны [1], [2] и [3] треугольника с ноября 1928 по март 1938 составляют волновую плоскость.

Волна [4] треугольника с 1938 по 1939 год является перевернутым зигзагом.

Волна [5] треугольника с 1939 по апрель 1942 года является волновой плоскостью. (8) Она падала вниз достаточно долго. Ее чрезмерная длина была просто необходима для того, чтобы совпасть с протяженностью общего периода в 13 лет с 1928 года и в 21 год с июля 1921 года.

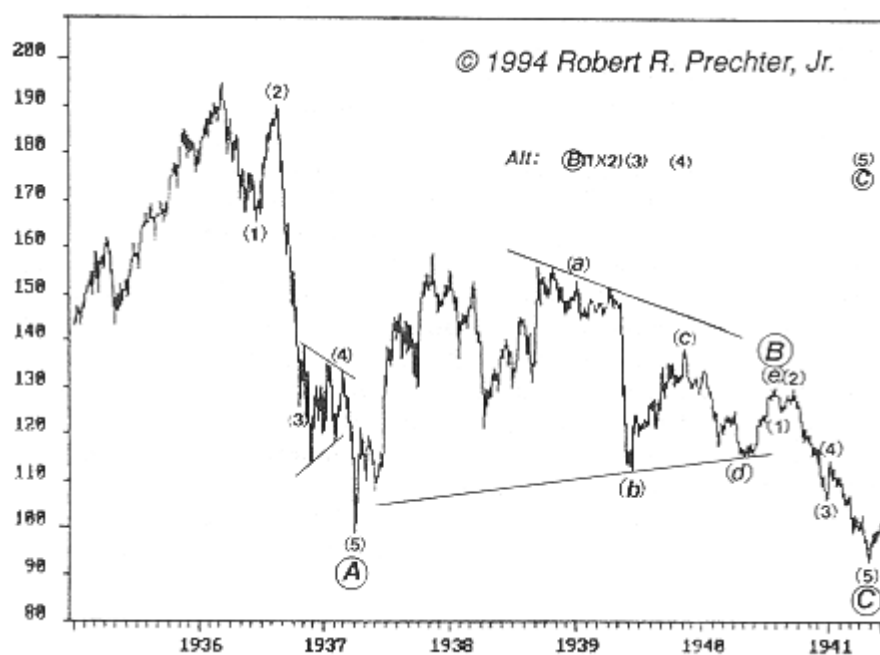
Как объяснялось в Главе 5, пятая волна [*треугольника] может быть ограничена контуром треугольника, а может и нарушить его. В этом случае, она выходит за пределы образующей линии. (9) Тем не менее, это настоящая волновая плоскость из трех волн, обозначенных [A], [B] и [C]. Волна [B] составляет 62% от волны [A] и 62% от волны [C]. Другими словами, волны [A] и [C] равны по длине.

Сноски

(1) Трудности Эллиотта в объяснении данного материала почти целиком заключаются в концепции тринадцатилетнего треугольника. В то время как отдельные характеристики периода 1928-1942 годов просто обворожительны, и, несмотря на то, что данный подход помог Эллиотту определить главное дно 1942 года, концепция тринадцатилетнего треугольника как такового является недействительной. Основные затруднения заключаются в том, что подъем 1932-1937 годов является «пятеркой», и падение 1937-1938 годов является «пятеркой», ограничивая тем самым рассмотрение их в качестве подволн треугольника, так как все подволны треугольника должны быть «тройками». Самым убедительным аргументом за формирование треугольника была последовательность 0.618 откатов внутри идеальных сходящихся линий, совпадение, действительно, весьма сверхъестественное. Несмотря на это, данное явление сложилось *благодаря различным волнам* (как это было в 1976-1979 годах), и *одних их* недостаточно, чтобы утверждать о формировании истинного треугольника. К сожалению, Эллиотт составил свое мнение на основании предпосылки, выходящей за пределы Закона волн, а именно на основании того, что период 1929-1932 годов был слишком коротким для коррекции предыдущей волны Суперуровня (Supercycle). Это предположение привело его к варианту с тринадцатилетним треугольником, который в свою очередь привел его к затруднению с основами волновой фигуры, поскольку он пытался втиснуть волновую структуру в заранее принятую концепцию. Эта ошибка в толковании не должна уменьшить впечатление читателей от пленительных открытий и анализа графика после пика 1929 года.

(2) Несмотря на то, что эти поворотные точки не являются совпадением, отнесение их к правилу «двойного прохода», по крайней мере, так, как оно изложено в теории, кажется «притянутым за уши». Удлинение *пятой* волны 1921-1928 годов *было* пройдено дважды, как и требовалось, волнами А и В в разметке Эллиотта, а затем волнами 1 of C и 2 of C. Причина, по которой *весь* подъем 1921-1928 годов не был пройден дважды растянутой волновой плоскостью, заключается в том, что Фрост и я пришли к выводу, что период 1921-1929 годов не был удлинением. Удлинением в период с 1857 по 1929 год была третья волна, как и обычно. Следовательно, не было причин, чтобы растянутая волновая плоскость дважды проходила по ценовой территории пятой волны. Тот факт, что первый же проход покрыл расстояние, превышающее длину всей пятой волны, является дополнительным доказательством, что данная волна не есть удлинение. Даже, если бы мы посчитали ее удлинением, последующая пятая волна Суперцикла (Supercycle), в конечном счете, сформировала бы второй проход. Тем не менее, движение рынка после пика 1929 года является интригующим, и любой может видеть, почему Эллиотт полагал правило двойного прохода выполненным.

- (3) Истинно. Это наиболее яркий бычий рынок в истории США по скорости процентного роста.
- (4) Эллиотт описывает вместе три первые волны в качестве волновой плоскости, поскольку третья волна треугольника неопровержимо является «пятеркой».
- (5) Эллиотт нарушает свое же собственное правило. Если движение 1937-1938 годов является волной «С» волновой плоскости, то оно должно быть «пятеркой». Если оно является волной треугольника, то оно должно быть «тройкой». Ему не следовало бы данное движение идентифицировать двумя различными способами.
- (6) Абсолютно точно. Вы можете заметить, что маркировка Эллиотта на рисунках 72 и 74 не стыкуется с его предположением о треугольнике, но соответствует правильному толкованию [*волновой картины].
- (7) Фрост и я обсуждали данную ошибку в своей книге. Можно посчитать некое пяти-волновое движение в качестве «тройки», но только в пользу Закона волн, и того, что мы называем «правильный облик». Волновые плоскости так называются потому, что они *плоские*. Волна В плоскости всегда глубоко заходит на территорию волны А. В пяти-волновом движении нет перехлеста волн по определению. Следовательно, подъем 1932-1937 годов должен быть классифицирован в качестве «пятерки».
- (8) Вновь, волновые плоскости – плоские, и им не следует «падать». В действительности, это пяти-волновое падение без всяких перехлестов, завершающее зигзаг, который начался в 1937 году. Чтобы разметить этот участок правильно, поставьте 1 там, где у Эллиотта «а», 2, где у него «b», 3 – на место [A], 4 - на место [B] и 5 - на место [C]. Чуть более лучшая разметка включает в себя горизонтальный треугольник в качестве волны [B] (рисунок ниже).
- (9) Более того, она заходит за вершину третьей волны треугольника, чего ей не следовало бы делать.



Глава XII. Прорыв.

Термин «прорыв» («inflation») определяется в словаре как «распространение за пределы естественных границ». Отдельно взятый участок бычьего рынка не нарушит «естественных границ». Последовательность таких участков один над другим, может выйти «за естественные границы». Отдельный бычий участок рынка, как правило, не бывает «над другим» если только они не чередуются с необычными медвежьими рынками [*неглубокие откаты].

В двадцатые годы из-за необычных медвежьих рынков был сформирован прорыв (1). Во время этого периода было три обычных бычьих рынка и два необычных медвежьих, всего пять. Предупреждения о прорыве происходило в следующем порядке: обычная волна 1, необычная волна 2, обычная волна 3, необычная волна 4 и прокол волной 5 параллельной линии на арифметической шкале (см. рисунок 65, Глава 9).

Рисунок 75 демонстрирует обычный бычий рынок и обычную медвежью коррекцию (волны a, b и c), которая глубоко откатилась вниз после пробития базовой линии. На рисунке 76 представлена необычная медвежья коррекция, которая едва пробил базовую линию.

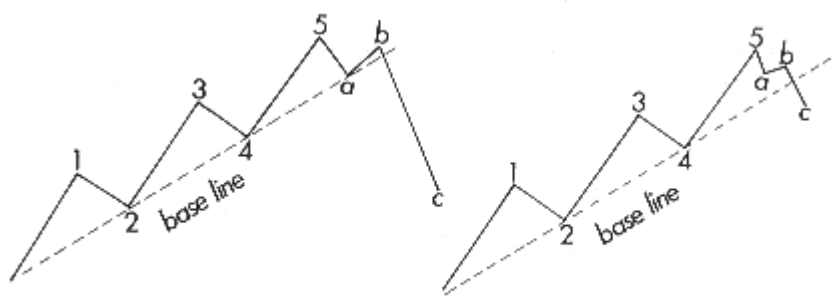


Рисунок 75

Рисунок 76

На рисунке 77 представлен график индекса Доу (DJA) с 1921 года по ноябрь 1928 года на арифметической шкале. Волна 5 пробивает параллельную линию. Факт пробития параллельной линии требует перевода всего графика с 1921 года на логарифмическую шкалу. Рисунок 78 демонстрирует тот же индекс (месячный тайм-фрейм) на логарифмической шкале. Волна 5 касается, но не пробивает параллельную линию.

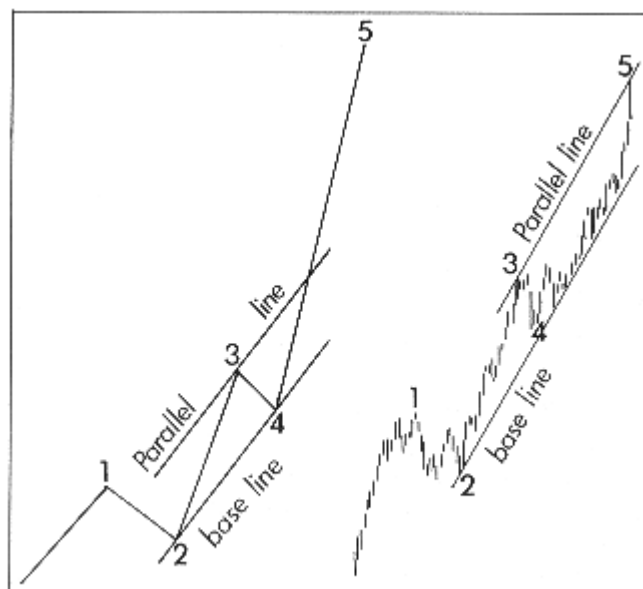


Рисунок 77

Рисунок 78

Существует три способа заблаговременного определения, в какой точке завершится прорыв: тот, который описан выше [*с помощью логарифмической шкалы], соотношение волн (показан на рисунке 71) и временной фактор (показан на рисунке 71).

Сноски

(1) Эллиотт использует буквальное определение инфляции, а не кредитно-денежное [*к которому мы привыкли]. По его определению «прорыв» («inflation») формируется на рынках, которые испытывают ускорение по отношению взлета цены к единице времени. Смотрите сноску (1) к главе IX.

[*Я позволил перевести данный термин, как «прорыв», что наиболее точно передает его смысл в данном контексте.]

Глава XIII. Цена золота.

Цена на золото – еще один пример, как важно различать достоинства арифметической и логарифмической шкал. График данного инструмента охватывает один участок бычьего рынка с 1250 по 1939 год, почти семь столетий. На рисунке 79 волна [2] является простой моделью, а волна [4] – сложной. Обратите внимание на буквы [A], [B] и [C] волны [4].

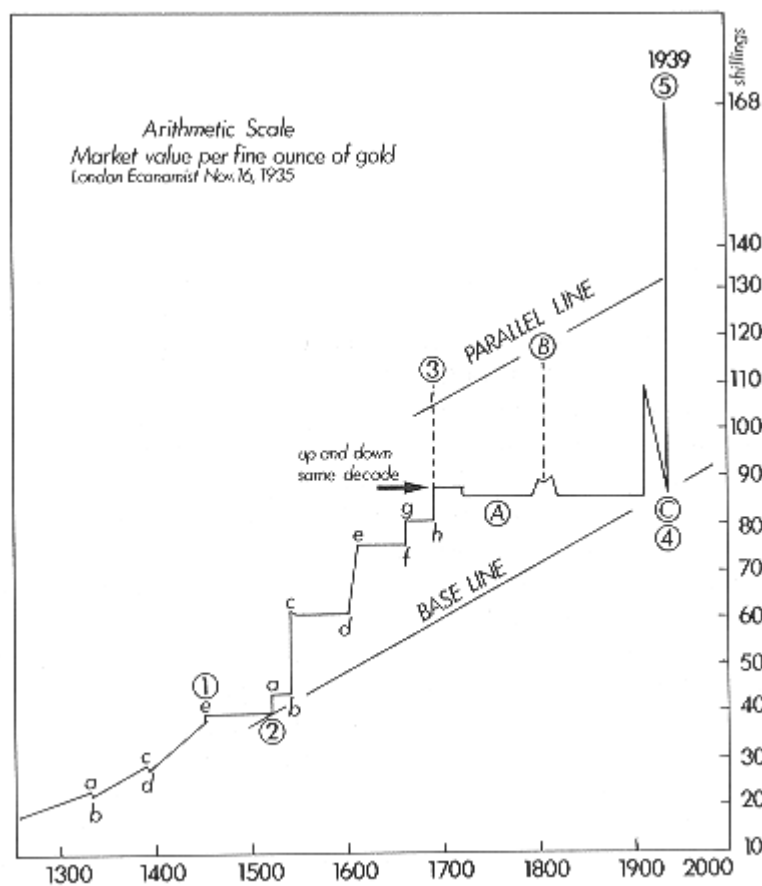


Рисунок 79

На рисунке 79, выполненным с использованием арифметической шкалы, ценовое движение превышает параллельную линию. Следовательно, требуется полулогарифмическая шкала, как показано на рисунке 80. Параллельная линия на логарифмической шкале указывает на конечную точку прорыва [*на графике] любой человеческой деятельности. (1) Когда пяти-волновой подъем завершается в пределах канала на *линейной* шкале, то прорыва нет.

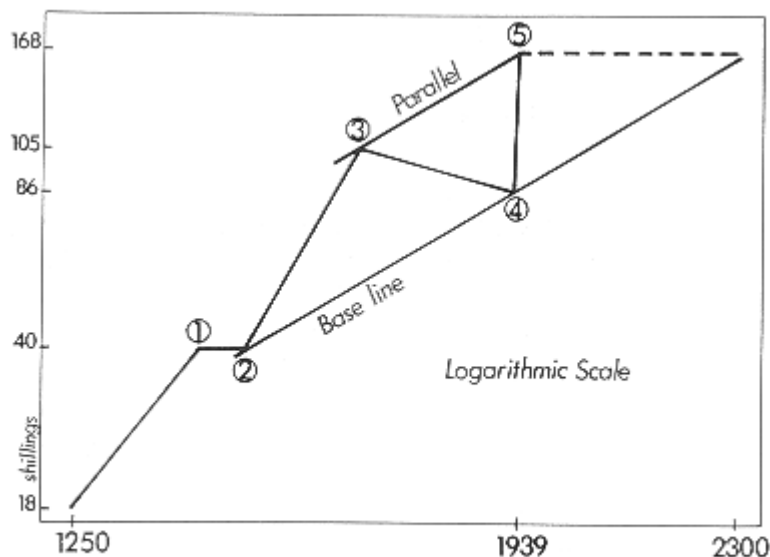


Рисунок 80

Постепенный рост волны [1] на рисунке 79 говорит о том, что рыночная цена золота в этот период была «свободной», то есть, не фиксированной какой-либо властью. Впоследствии, продвижение было скачкообразным, а коррекции - боковыми, что указывает на то, что цена устанавливалась неким регулирующим органом, предположительно, политическим. Коррекции могли двигаться вбок, вниз или вниз и вбок, как видно по волне [4] на рисунке 79.

В рамках правила, описанного здесь, когда модель завершена посредством касания волны [5] параллельной линии, как показано на рисунке 80 с логарифмической шкалой, дальнейшего подъема цены не будет до тех пор, пока цена не пробьет базовую линию в некой точке. Следовательно, существует вероятность того, что текущая цена золота в 168 шиллингов, останется стабильной, по крайней мере, до тех пор, пока она не коснется базовой линии где-то в 2300 году, в точке пересечения пунктирной линии в правой части графика. (2)

Сноски

(1) Верно, если она проводится с использованием правильно выбранных вершин волн.

(2) Некоторые люди сделали карьеру, высмеивая Эллиотта за этот вывод. Вероятно, ему следовало бы избежать комментариев на основе таких схематичных исходных данных. Несомненно, ему следовало бы быть менее категоричным и описать альтернативные варианты. Несмотря на это, не существует проблем для Закона волн или его применения на практике, поскольку пробитие верхней параллельной линии немедленно предполагает продолжение развития удлиненной третьей волны.

Глава XIV. Патенты.

Выражение «человеческая деятельность» включает в себя любую деятельность, не только фондовый рынок, но и промышленное производство, страхование жизни, миграцию населения из городов в сельскую местность и обратно, и так далее. Разнообразные примеры представлены в Главе 3.

Порой обнаруживаются достаточно необычные примеры, такие как регистрация патентов, которые являются человеческой деятельностью, но без эмоциональной окраски. (1) Рисунок 81 – это регистрация заявок на патенты с 1850 по 1942 года. Обратите внимание на пять волн. Пятая волна удлинялась с 1900 по 1929 года. Индекс Доу (DJA) следовал этой же форме в течение практически того же периода времени (см. рисунок 82). Заметьте, что «коррекция» в регистрации патентов с 1929 по 1942 год состоит из трех волн А, В и С. Акции следовали той же модели в течение аналогичного периода, за исключением того, что с 1928 по 1942 год «коррекция» представляла собой треугольник вместо волн А, В и С.

Давным-давно, фермерство было основным занятием. То там, то здесь у фермера мог быть магазин или производство неких товаров дополнительно к основному роду деятельности. Производство представляло собой штучное изготовление товаров в домашних условиях. Естественные ресурсы, климат, дух времени и демократия в Соединенных Штатах требовали создания корпораций для индивидуальной финансовой инициативы. Изобретения и внедрение машинного оборудования постепенно изменили все. Покупка Луизианы, завоевание Калифорнии, присоединение Техаса и Орегона, совместно с установлением границ с Мексикой и Канадой, добавили весьма значительную территорию.

Дух времени был (и все еще остается) главным активом. Это демонстрируется графиком заявок на патенты с 1850 по 1942 года. Обратите внимание, что форма данного графика совпадает с формой графика фондового рынка. Соединенные Штаты весьма отличаются от любой другой страны в жизненно важном аспекте: наши предки – выходцы из всех частей света. Их не устраивала тирания и политический режим их отечества, и они приехали сюда для того, чтобы наслаждаться свободой и развивать свою личность.

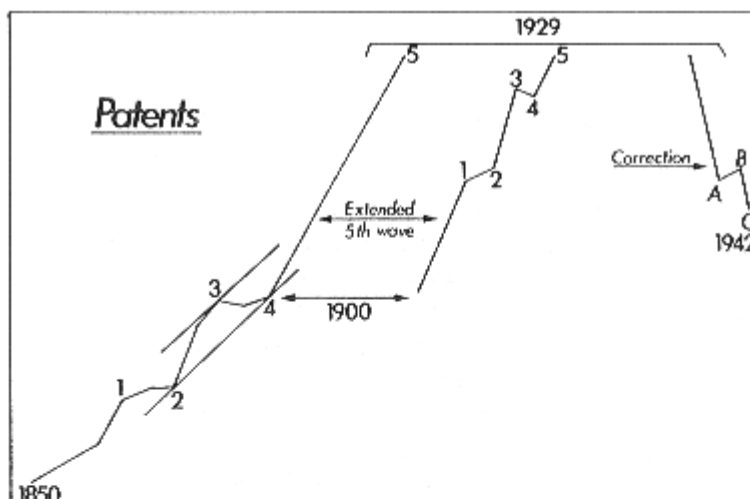


Рисунок 81

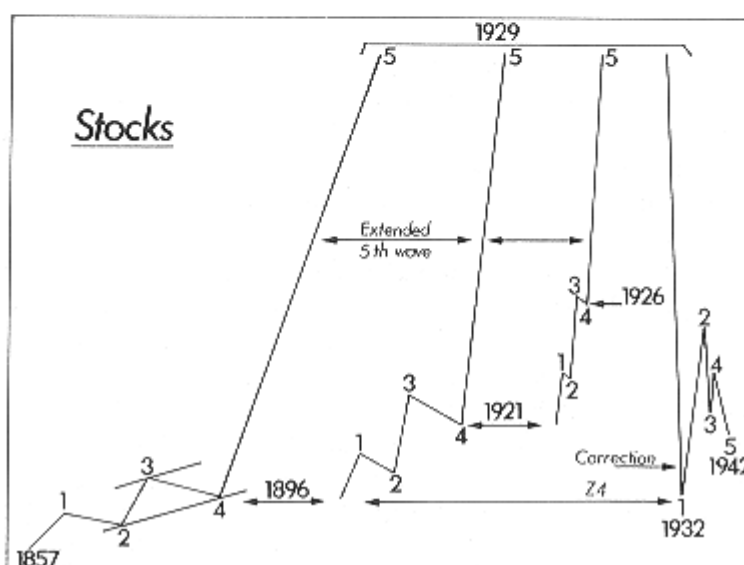


Рисунок 82

Сноски

(1) Закон волн отражает больше, чем просто эмоциональные явления, потому как он еще является историческим документом развития Человека, доказательно размеченного в виде отдельных волновых моделей на основе его [*Человека] коллективного эмоционального ритма. Не требует даже доказательств то, что настроение, выраженное таким индексом, является причиной прогресса; по видимому, Человек может производить больше и изобретать больше, когда такое преобладающее настроение смотрит «вверх», а не «вниз».

Глава XV. Технические особенности.

Движение [*на графике] только в одной области человеческой деятельности редко является надежным путеводителем для других, если вообще является таковым. Рисунок 83 представляет графики трех индексов – Лондонский промышленный индекс (London Industrials), промышленный индекс Доу-Джонс (Dow-Jones Industrials) и производство товаров в Соединенных Штатах. Все графики отражают период с 1928 по январь 1943 года. График производства товаров предоставлен компанией Cleveland Trust Company.

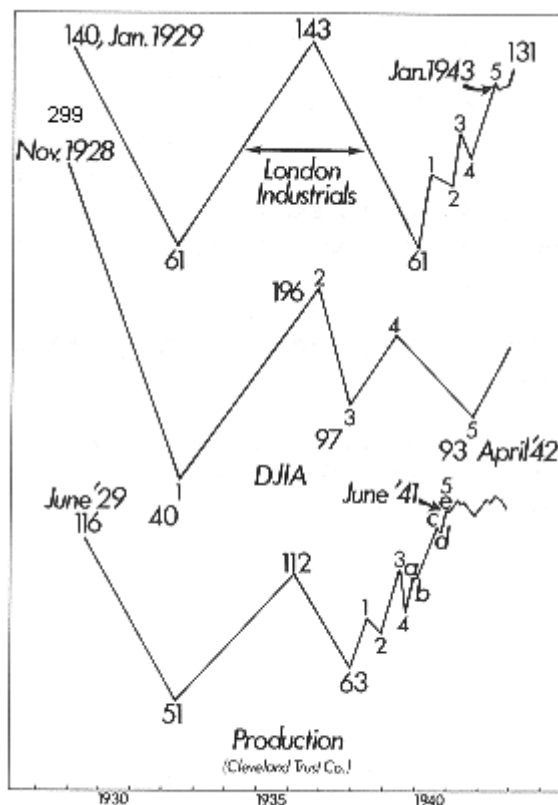


Рисунок 83

График индекса Доу-Джонса (средний) демонстрирует пяти-волновый треугольник с ноября 1928 (ортодоксальная вершина) по апрель 1942 года. Отношение амплитуды каждой волны треугольника к предыдущей, начиная со второй, составляет приблизительно 61.8%. Наличие треугольника подтверждается его образующими линиями, временными соотношениями, структурой каждой волны, единым коэффициентом соотношения волн к предшествующей волне. Высокоскоростной прорыв с 1921 по 1929 годы (8 лет) вызвал быстрое падение до 1932 года (34 месяца). Все это в свою очередь привело к образованию симметричного треугольника, который воспроизвел затухающие колебания.

Треугольник проигнорировал следующие события, которые произошли в 13-тилетний период его формирования:

- разворот от республиканского управления к Новому курсу [*New Deal - буквально «новый подход», система экономических реформ президента Ф.Рузвельта, направленная на преодоление Великой Депрессии],
- девальвацию доллара,
- отказ от золотой оговорки в Государственных облигациях [*о пересчете в соответствии с ценой золота],

- ликвидацию ограничения двух сроков [*до 1933 года Президент США мог избираться не более, чем на 2 срока подряд по 4 года. В 1933 году к власти пришел Ф.Рузвельт, который был Президентом США до своей смерти в 1945 году. Затем ограничение двух сроков в США было восстановлено.],
- вторую мировую войну, которая началась в 1939 году, и
- подъем промышленного производства, индекс которого начал восходящее движение в 1938 году и завершил свое пяти-волновое движение в июне 1941 года..

График Лондонского промышленного индекса (верхний график) не последовал за акциями Нью-Йорка в 1929 году. Он обозначил вершины в январе 1929 года на отметке 140 и в декабре 1936 года на отметке 143. Нижняя отметка в 1932 и 1940 годах равнялась значению 61. С 1940 года по январь 1943 года этот индекс поднялся к отметке 131. С 26 января по 28 июля 1939 года Лондонский промышленный индекс сформировал треугольник.

Цены на Лондонские акции взлетали ввысь в 1720, 1815 и 1899 годах, приблизительно через 89 лет (число Фибо). Когда цены на Лондонские акции могут взлетать, это не означает, что наши [*акции США] поступят таким же образом.

График индекса производства, подготовленный Cleveland Trust Co (нижний график) сформировал вершины в июне 1929 года на отметке 116 и в 1936 году на отметке 112, а дно – в 1938 году на отметке 63. Со значения 63, завершённое восходящее движение в виде пяти волн окончил формирование своей модели в июне 1941 года, перед тем, как индекс Доу начал восхождение от окончания треугольника в апреле 1942 года.

В период с 1857 по 1928 год мы участвовали в трех войнах – Гражданской, Испанской и первой мировой. Тем не менее, модель движения на Суперуровне (Supercycle) была более идеальной, чем где бы то ни было.

Акции и биржевые товары никогда не формируют прорыв цен в унисон. Поэтому, если товары «исследуют стратосферу», совсем не обязательно, что акции поступят также в то же самое время. Цены на товары взлетали в 1864 и 1919 годах, с разницей в 55 лет. (1)

Бесполезность новостей демонстрируется в следующей главе. (2) Один финансовый наблюдатель написал:

«Тот факт, что цены на акции поднимаются на хороших новостях из Салерно и что они откатились назад в августе на аналогичных хороших новостях из Сицилии, вынуждает исследователей сделать вывод, что снижение цен в августе связано главным образом с техническим откатом, а не с военными событиями.»

Однажды в Лондоне произошел резкий взлет цен – «блиц». Цены на Лондонские акции поднялись, а на Нью-Йоркские акции – упали. Финансовые наблюдатели на обеих биржах оценили данный блиц как случайный. В одно и то же время Лондон был в восходящем тренде, а Нью-Йорк – в нисходящем. Каждый развивался в соответствии со своей волновой моделью независимо от блица. Подобное же поведение волн последовало после ухода Муссолини 25 июля. [*В этот день 1943 года, после высадки войск союзников (США и Великобритании) на Сицилии, Муссолини арестовали и он был вынужден уйти в отставку.]

Вышеприведенный анализ доказывает, что технические факторы правят рынком во *все* времена.

Сноски

(1) И вновь в 1974 году! Если рассматривать число Фибоначчи 55 с точки зрения 55-летнего цикла, то оно является длиной так называемой Волны Кондратьева, длиной цикла экономической активности.

(2) В действительности, в Главе XVII.

Глава XVI. Железнодорожный индекс Доу.

Изучение железнодорожного индекса Доу интересно, информативно и прибыльно. Перевозка грузов является наиболее важным человеческим фактором в нашей экономике из-за огромных расстояний между границами с момента покупки Луизианы, определения границ с Мексикой и Канадой, и присоединения Техаса и Калифорнии.

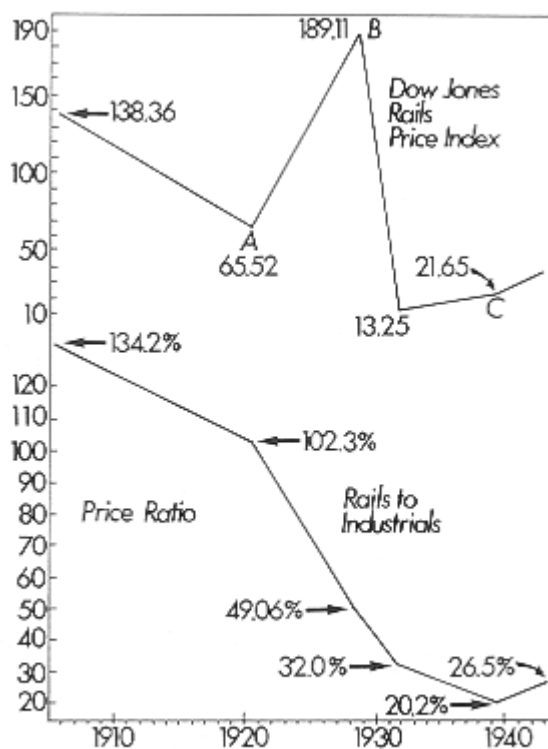


Рисунок 84

Нижний график на рисунке 84 представляет собой отношение железнодорожного индекса к промышленному индексу с 1906 по январь 1944 года. Это служит доказательством того, что по отношению к промышленному сектору железнодорожный упорно становился слабее с 1906 по 1940 год (34 года). Причинами такого процесса были завышенные пропорции между облигациями и обычными акциями, Панамский канал, который был открыт для судоходства в 1914 году (1906 + 8 = 1914), а также автомобили и самолеты. Эти три фактора привели к такому ослаблению и железнодорожных облигаций, и железнодорожных акций, что в 1940 году одна треть компаний по железнодорожным перевозкам были банкротами, а еще одна треть – на грани этого.

Вторая мировая война исключила Панамский канал из конкуренции, то есть увеличила доход железнодорожного сектора и в плане пассажиропоездов, и в плане грузоперевозок. Исключительный доход, который получали железнодорожные компании с 1940 года, особенно после Пирл-Харбора, позволил им уменьшить свою задолженность по облигациям, и, в конечном счете, уладить вопрос с долгами. Такое преимущество было постоянным. См. рисунок 85.

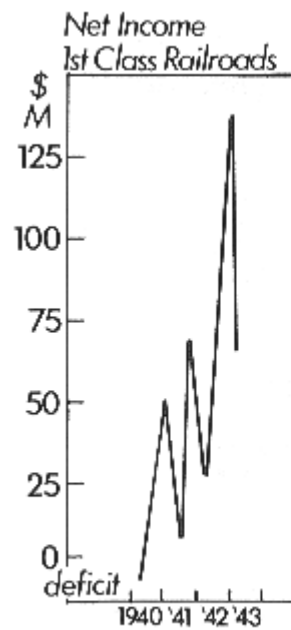


Рисунок 85

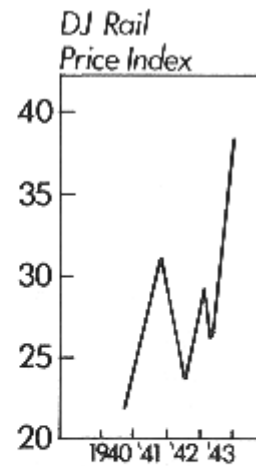


Рисунок 86

Железнодорожный индекс обозначил соответствующее дно в 1940 году, и с того момента до июля 1943 года поднимался, как показано на рисунке 86. Промышленный индекс сформировал дно двумя годами позже, в апреле 1942 года, в конце тринадцатилетнего треугольника.

За 34 летний период между 1906 и 1940 годами, железнодорожный индекс разворачивался вниз раньше промышленного индекса и разворачивался вверх после него. С 1940 года эта практика изменилась на противоположную; т.е., железнодорожный индекс первым разворачивается вверх и последним – вниз. Возможно, такая практика будет продолжаться в течение нескольких лет.

Глава XVII. Значение новостей.

На Уолл-стрит есть афоризм «новости соответствуют рынку». Это значит, что вместо новостей, «создающих рынок», рынок предвидит и учитывает значимость своих основополагающих сил, которые впоследствии могут стать новостями. В лучшем случае, новости являются запоздалым признанием сил, которые в течение некоторого времени уже участвуют в процессе движения рынка, и являются потрясающими только для тех, кто не подозревал о данном движении.

Источник сил, которые вызывают движения рынка, кроется в природе и человеческом поведении, и данные силы могут быть измерены различными способами. Силы распространяются в виде волн, как доказано Галилеем, Ньютоном и другими учеными. Эти силы могут быть рассчитаны и спрогнозированы с изрядной точностью через сравнение структуры и протяженности данных волн.

Опытные и успешные трейдеры давным-давно поняли, что бесполезно полагаться на чью-либо способность понимать значимость отдельно взятой новости для фондового рынка. Ни отдельная новость, ни серия событий не могут рассматриваться в качестве основополагающей причины любого продолжительного тренда. Действительно, на протяжении длительного периода времени те же самые события оказывали совершенно разное влияние, поскольку параметры тренда были различными.

Это утверждение может быть проверено выборочным изучением ценового курса индекса DJIA за сорок пять лет. За тот период низвергались короли, происходили войны, распространялись слухи о войнах, резко возрастала деловая активность, сеялась паника, происходили банкротства, политика Новой Эры, Нового курса и все разновидности исторических и эмоциональных событий. Кроме того, все бычьи рынки развивались в одинаковом стиле. Аналогично и медвежьи рынки проявляли сходные свойства, которые управляли ответной реакцией рынка и отмеряли ее на любой тип новостей так же, как величину и пропорции составных частей всего тренда в целом. Эти свойства можно оценить и использовать для прогнозирования дальнейших движений рынка, независимо от новостей.

Иногда происходит что-то совершенно неожиданное, например, землетрясение. Тем не менее, независимо от степени неожиданности, можно уверенно заявить, что любое подобное событие теряет значимость очень быстро, *не меняя направления тренда, который был до него.*

Одной из мер предосторожности в таких случаях является готовность опытных трейдеров «продавать при хороших новостях и покупать при плохих», особенно, когда данные новости идут вразрез с текущим трендом. Эта особенность приводит к разочарованию в ожиданиях публики, которая ждет прямолинейной и однотипной реакции рынка на схожие новости в разное время.

Те, кто рассматривает новости в качестве причины рыночных трендов, вероятно, больше преуспеют в ставках на ипподроме, чем, если они будут полагаться на свои способности правильно угадать значимость выходящих новостей. Мистер Луффлер (X.W. Loeffler) из Вествуда, Нью-Джерси, публикует график индекса DJIA, с указанием важных новостных событий в хронологическом порядке. Изучение этого графика ясно показывает, что рынок рос и падал при однотипных новостях. Следовательно, единственный способ «четко увидеть лес» – это занять позицию над окружающими деревьями.

Война инициирует мировые силы такой мощности, что, по-видимому, они должны преобладать над остальными доводами и двигать рынок дальше и дальше в том же направлении. В различное время военные конфликты всегда занимали первые страницы газет. Резкие падения рынка в

августе и сентябре 1937 года, вновь в марте, августе и сентябре 1938 года, и в марте-апреле 1939 года – все они совпадают с началом войн. Хотя, когда война была официально объявлена 01 сентября 1939 года, рынок неистово взлетел при огромном объеме. Единственное удовлетворительное объяснение этому любопытному поведению можно получить из технического положения рыночного цикла [*волновой картины] в те моменты времени.

В 1937, 1938 годах и начале 1939 года рынок завершил значительные ралли, и в момент начала военных конфликтов возобновлял нисходящее движение. Следовательно, «военную панику» в эти моменты можно истолковать в качестве медвежьей, которая послужила просто ускорению нисходящего тренда. С другой стороны, рынок был совершенно в другом положении в сентябре 1939 года, когда началась война. Графики показывают, что нисходящая фаза началась в конце июля 1939 года в виде коррекции восходящего движения с середины апреля того же года. Эта нисходящая фаза была полностью завершена за неделю до 01 сентября, и, в действительности, рынок оживленно начал подъем в этот короткий промежуток всего в десяти пунктах от нижней отметки августа.

В момент объявления войны рынок резко падал в течение того дня до отметки чуть ниже наименьшего значения августа, а затем цена отскочила вверх с ошеломляющей скоростью. Те, кто прикупил выбранные акции на самом дне в августе и на дне, образованному паникой объявления войны, получили огромную прибыль в сравнении с теми, кто пытался купить акции в последующей неистовой драке. Запоздалые участники в большинстве случаев сожалели о покупках, так как заплатили максимальную цену, а распродавали [*акции] со значительными убытками. В действительности, пик рынка для сталелитейных и других важных военных отраслей промышленности был достигнут менее, чем за две недели с момента объявления войны. С этого момента рынок приобрел в перспективе медвежьей черты для военных акций и военной прибыли из-за обширного медвежьего цикла, который начался осенью 1939 года. В противоположность этому, влияние [*на рынок] первой мировой войны (1914-1918) было в основном бычьим именно благодаря типу ценового цикла с середины 1913 года.

Когда в начале 1940 года пала Франция, большинство людей полагали, что война может быть очень короткой и Гитлер неминуемо опустошит Англию. Тем не менее, в мае, когда DJIA достиг отметки 110.61, волны подсказали, что самая худшая фаза уже позади, и следует покупать акции из-за значительного среднесрочного подъема. Даже в середине потока чрезвычайно эмоциональных новостей из Европы в первой половине июня, индекс среагировал всего до отметки 110.41.

Во время ноябрьских выборов 1940 года были опубликованы сенсационные заявления, касающиеся огромных расходов, которые должны быть сделаны в целях защиты и помощи Англии. Большая часть экономистов и экспертов полагали, что это может привести в действие инфляционные силы, и покупали акции. Тем не менее, в то же время волны показывали, что инфляция не принесет пользы акциям в текущем положении, а восходящее движение с июня месяца уже завершается и следует ожидать формирования более низких цен. Впоследствии рынок упал почти на пятьдесят пунктов.

Общее мнение о том, что новости влияют на рынок, широко распространено и даже используется [*в торговле]. Но, если текущие новости и влияют на колебания цен, то [*завершенные волновые] циклы они не формируют. Когда же кого-то убеждают придавать большое значение «новостям», я рекомендую внимательно изучить формацию и волновые пропорции на рис.71, а затем вспомнить события и заключения специалистов, в большом количестве высказанные в тот двадцати-одно-летний период.

Глава XVIII. Работа с графиками.

Изучающие [*волновой анализ] могут извлечь пользу из подробных предложений, которые я счел существенными. Образцы графиков представлены на рисунке 87. [*Часовой график представлен сплошной линией по цене закрытия часа]

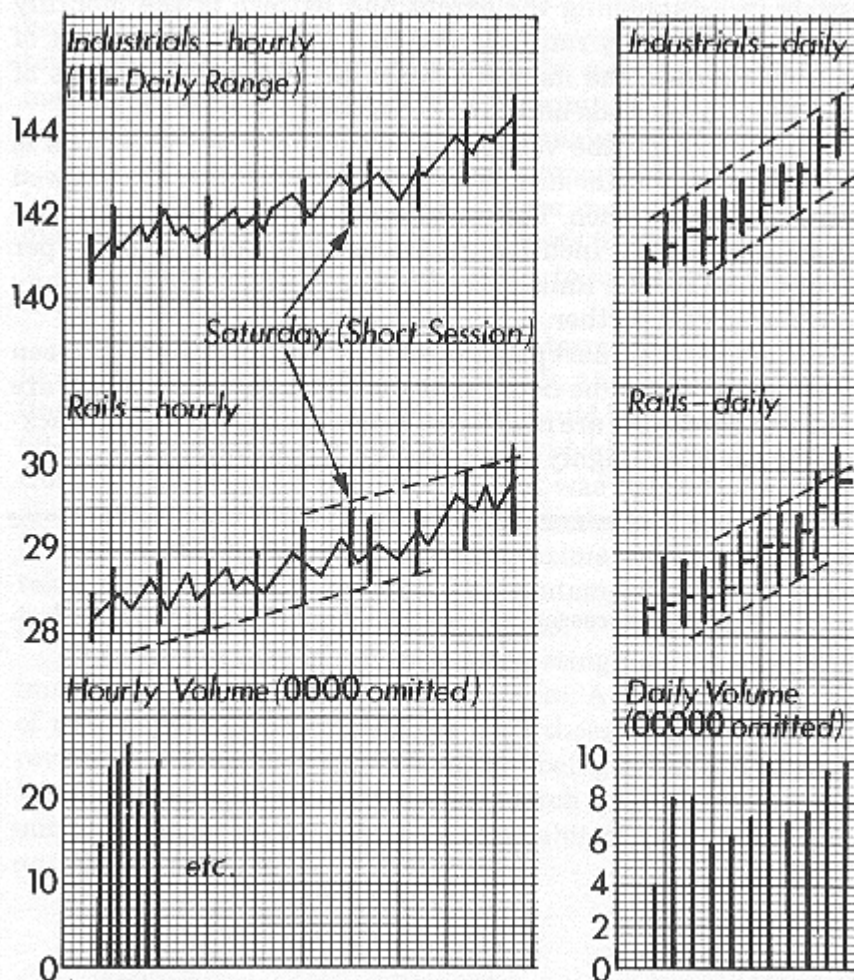


Рисунок 87

Точное наблюдение за волнами младших уровней требует данные о дневном диапазоне изменения цен. Публикация максимальных и минимальных значений за день (high-low range) было введено Доу и Джонсом (Dow-Jones) в 1928 году.

Размеры графиков, рекомендуемых для выделения ценовых колебаний, составляют четверть дюйма по вертикали для одного пункта промышленного индекса (Industrial Average), полдюйма по вертикали для одного пункта железнодорожного индекса (Rail Average) и полдюйма по вертикали для одного пункта индекса коммунальных компаний (Utility Average). Такое распределение места на графике облегчает точное его толкование. Четвертьдюймовая шкала разбивается на пять частей, исключая таким образом всякие догадки о точном нанесении на график дневных и часовых баров.

Так же важно выдерживать расстояние между дневными барами, как показано в примерах. Если рисовать дневные бары на каждой линии [*миллиметровки], а не через одну, то ценовые бары

будут излишне сжаты для удобного восприятия. Не оставляйте дополнительного места под выходные и праздники.

Точно такая же шкала и формы рекомендуются для часовых графиков – четверть дюйма горизонтальной оси для пятичасовой сессии или по одному минимальному делению на каждый час. Не оставляйте пустые промежутки после двухчасовой сессии в субботу. Не показывайте цену открытия. Дневной бар следует наносить на график в конце последнего часа каждой сессии. Все эти рекомендации представлены на рисунке 87.

Никогда не экономьте на бумаге для графиков за счет наглядности. Когда движение начинается на одном листе и заканчивается на другом, наглядность ухудшается. То же относится и для случая, когда движение прерывается в верхней части одного листа и продолжается с нижней части на другом листе.

Предполагается, что используется стандартный размер листа 10" x 15", и на одном листе не наносится более двух индексов. Например, на одном листе 10" x 15" следует наносить дневные бары и объем промышленного индекса, а на другом листе 10" x 15" – железнодорожный и промышленный индексы. Еще два листа 10" x 15" используйте для часовых значений промышленного индекса и часового объема всего рынка, а также для часовых значений железнодорожного индекса и индекса коммунальных предприятий, всего четыре листа на всю программу.

Для отдельных акций применяются те же основные рекомендации, за исключением того, что ценовые деления делятся на четыре части, а не на пять. (1)

Недельные бары следует наносить на листах самого большого размера для того, чтобы охватить продолжительный период целого [*волнового] цикла. Месячные графики, особенно индексов и секторов промышленности, весьма важны для обзора завершенных [*волновых] циклов.

Рисунки 53 и 54 в Главе 6 демонстрируют значение дневных графиков для заблаговременного определения границ и формы модели недельного тайм-фрейма. Аналогично недельные графики помогают определить границы и форму модели месячного тайм-фрейма. Месячный график помогает в определении границ циклов. Более того, месячный график облегчает наблюдение [*за ценой] на месячном тайм-фрейме и за соотношением волн.

На рисунке 87 вертикальный масштаб для промышленного индекса составляет четверть дюйма на один пункт. Железнодорожному индексу и индексу коммунальных компаний предоставлено полдюйма на один пункт. Недельный диапазон может быть уменьшен до двух пунктов на четверть дюйма для промышленного индекса и до одного пункта на четверть дюйма для железнодорожного и коммунального индексов. Месячный масштаб может быть еще более мелким.

На используемой бумаге для графиков [*миллиметровке] направляющие линии нанесены бледно зеленым цветом и, следует заметить, что модели графика, нанесенные черными чернилами, заметно выделяются на бледно зеленом фоне, что значительно благоприятствует восприятию волновой картины.

Сноски

(1) Поскольку цены выражаются в $1/8$ и $1/4$ вместо десятичных значений.

Глава XIX. Выбор времени инвестирования.

Определение времени является одним из главных моментов во вселенной. Годовой период мы подразделяем на времена года: весну, лето, осень и зиму. Мы различаем дневное время в качестве периода для деловой активности, а ночное – для релаксации и отдыха.

В отношении инвестирования, выбор времени является самым важным моментом. *Что* покупать – важно, но *когда* покупать – еще важнее. Сами рынки инвестиций постепенно предсказывают свое собственное будущее. Волны показывают следующее движение рынка на основе своих моделей, чьи начало и окончание чувствительны к точному и доказательному анализу.

Закон природы включает в себя наиболее важный из всех элементов – определение времени. Закон природы не является системой или методом игры на рынке, но явлением, которое выступает в качестве разметки хода развития всей человеческой деятельности. Его применение для прогнозирования - революционно.

Если бы некто инвестировал \$1000 в долгосрочные правительственные облигации (Government bonds) в январе 1932 года и продал бы их в июне 1939 года, то общая прибыль за 89-ти месячный период составила бы \$5000 (включая проценты и повышение облигаций в цене). В январе 1932 года доход по правительственным облигациям составлял 4%. В июне 1939 года он был лишь 2%. Что касается фондового рынка, то инвестирование в размере \$1000 в июле 1932 года, увеличилось бы к марту 1937 года приблизительно до \$5000 без учета дивидендов. Это утверждение основано на процентном изменении популярных индексов.

Важность точного прогнозирования повлекло за собой обширное применение статистических данных. Сравнение подшивок газет пятидесятилетней давности с современной прессой было бы откровением в этом отношении. На поиск приемлемого метода прогнозирования тратятся миллионы, но такие поиски будут безрезультатными без понимания того факта, что характер поведения рынка - *упреждать*, а не следовать.

Глава XX. Выбор инструмента для инвестирования.

В главе 19 показано, что первостепенным фактором в торговле акциями является определение времени, т.е., когда покупать и продавать. Следующим по важности фактором является выбор акций для торговли. Чтобы разобраться в отобранных для торговли ценных бумагах (акциях или облигациях), прежде всего следует помнить о следующих основных положениях.

Колебания цен и дивиденды

Колебания рыночных цен любой ценной бумаги гораздо выше ее годового дохода в виде дивидендов. Следовательно, первостепенным фактором является определение суммы инвестиций и ее защита в зависимости от ценовых колебаний.

Вершины бычьих рынков

В период бычьих рынков каждая группа из списка 55 стандартных статистических индексов демонстрирует формирование вершин в различное время, наподобие лопастей вентилятора. Бычьими рынками являются те, которые формируют пять волн Первичного уровня за период около двух лет. (1) В такой период несколько групп стараются двигаться весьма однородно, подталкиваемые вперед мощной циклической силой.

Медвежьи рынки

Как правило, длительность медвежьего рынка больше, чем длительность предыдущего бычьего. (2) Во время резкого и относительно короткого по продолжительности падения с 1929 по 1932 год, от самых лучших акций и облигаций, так же, как и от низкосортных, вынуждены были избавляться независимо от их истинной стоимости. У многих трейдеров сложилось неправильное представление о том, что падения всех медвежьих рынков могут повторяться с такими же параметрами. (3) Исследования показывают, что много лет пролетит прежде, чем можно будет ожидать столь глубокое падение.

Бросается в глаза, что окончательное дно медвежьих рынков формируется одновременно с низшими отметками почти у всех групп индексов. Это прямо противоположно вершинам бычьих рынков. Во время бычьих рынков убедительное превосходство менее выражено, что особенно справедливо для продолжительных ралли. Во время медвежьих периодов, и рынок целиком, и несколько групп становятся более чувствительными к текущим событиям и внешним факторам.

Прежний опыт в торговле

Многие трейдеры приобретают предубеждение против отдельных акций из-за предшествующего печального опыта. Следуя такой традиции, трейдер в конце концов не сможет найти группу акций, свободную от недостатков.

Вяло торгуемые акции

Следует избегать торговлю акциями, которые иногда или часто вяло торгуются на рынке. Причина заключается в том, что не формируется волновая картина. Вялая торговля ясно показывает, что такая акция не пользуется широкой популярностью или она достигла конечной стадии развития.

Конфиденциальная информация

Как правило, конфиденциальная информация от доброжелателей относится к вяло торгуемым или дешевым акциям. Желательно придерживаться торговли только теми акциями, которые торгуются активно.

Возраст акций

Жизненный цикл акции делится на три стадии. Первая – юношеская или опытная стадия, во время которой такие акции следует избегать, так как они недостаточно проверены рынком. Вторая – созидательная стадия. Акции, которые попадают в эту категорию, достигли значительного расцвета, что делает их превосходным средством для торговли, предполагая, что они основательно проверены рынком. Третья или взрослая стадия, представляет период полного расцвета. Дивиденды могут быть постоянно надежными, а ценовые колебания – минимальными. По этим причинам такие ценные бумаги занимают места в инвестиционных портфелях и менее привлекательны для торговых целей.

Краткий итог. Когда сформировалась подходящая волновая модель заслуживающего доверие индекса, следуйте данным рекомендациям:

1. Выберите группу акций, которая движется в унисон с индексом.
2. Затем выберите акции [*в пределах этой группы], которые в основном повторяют движения данной группы.
3. Всегда выбирайте акции, которые постоянно активно торгуются, имеют среднюю цену и являются проверенными лидерами.
4. Диверсифицируйте свои средства, т.е., вложите примерно одинаковые средства в пять-десять акций, но не более, чем в одну из группы (например, General Motors, United Aircraft, U.S. Rubber, U.S. Steel, New York Central и Consolidated Edison).

Сноски

(1) Бычий рынок - это любой подъем цен, который состоит из необходимых пяти волн. Определение «бычьего рынка» или «медвежьего рынка» по продолжительности или процентному изменению цен является достаточно произвольным.

(2) Я думаю, что это непреднамеренная опечатка. Медвежьи рынки почти всегда* короче бычьих рынков и, в случае большой их продолжительности, стремятся к 61.8% длительности бычьего рынка (см. главу 4 в книге «Закон волн Эллиотта. Ключ к поведению рынка»).

[*я бы заменил здесь слово «всегда», на «как правило»]

(3) Такие же ожидания преобладают в наше время. С прошедшими финансовыми крахами 1969-1970 и 1973-1974 годов, большинство в настоящее время ожидают «безотлагательного повторения» [краха*] на низшей отметке очередного четырехлетнего цикла. Мало, кто может представить возможность менее «перепроданного» дна, несмотря на тот факт, что волновая картина предполагает это именно так, как определил Эллиотт: «много лет пролетит прежде, чем можно будет ожидать столь глубокое падение».

Глава XXI. Символические цифры пирамиды и как их открыли.

С разрешения фирмы Landone Foundation я процитирую три абзаца со страниц 134-135 книги г-на Лэндана (Landone) *Prophecies of Melchi-Zedek (Пророчества Мелчи-Зэдика)*:

«Длина окружности, проведенной вокруг основания Пирамиды, составляет 36524.22 дюйма. Это в точности в 100 раз больше 365.2422 – количества дней в солнечном году.

Проектная высота Пирамиды равна 5813.02 дюйма.

Эти загадочные мудрецы сформулировали систему измерений численности, времени, веса и длины, квадратов и кубов длины. Поскольку все эти формулировки основаны на длине стороны квадрата, поскольку эта длина была получена из круга, длина окружности которого соответствовала дням солнечного года, и поскольку время обращения Земли вокруг солнца неизменно, эти мистики создали единственную систему измерений навсегда точную и вечно неизменяемую.» (1)

Определяя длину окружности вокруг основания Великой пирамиды в Гизе, исследователи разыскивали некий известный связанный [*с ней] факт. В данном примере это было количество дней в году с точностью до последнего знака. Другими словами, эти два факта связаны и, таким образом, определяют цель этой символической цифры, на основании которой можно делать прогнозы.

Я открыл ритм в человеческой деятельности, а позже узнал, что он символически отображен в Великой пирамиде. Египтологи не смогли распознать это символическое число, потому что не знали ритма в природе и человеческой деятельности. Оно описано в главах 1 и 2 и наглядно показано в главах 8-14.

Мой вклад в символические цифры пирамиды:

1. Открытие моделей, уровней и количества волн.
2. Объединение числовой последовательности Фибоначчи, открытий Хэмбиджа (Hambidge), указывающих на присутствие этой последовательности в искусстве и ботанике, а также таинственной диаграммы Пифагора.
3. Диаграммы Великой пирамиды с разных углов зрения.
4. Связь отношения Фибоначчи и высоты пирамиды – 5813 дюймов (которое состоит из трех основных чисел арифметической прогрессии Фибоначчи: 5, 8 и 13) – к основанию пирамиды.
5. Проявление данной арифметической последовательности во многих областях человеческой деятельности.

Измеритель соотношения

Чертежники используют инструмент, называемый пропорциональный циркуль-делитель. Точка рычага сделана подвижной, чтобы можно было получить любое соотношение. Такие инструменты достаточно дороги и в настоящее время практически недоступны. Тем не менее, я разработал удобный его заменитель для определения (без математических расчетов) соответствует ли соотношение амплитуды или времени 61.8%. Готов выслать его при условии оплаты почтовых расходов.

Сноски

(1) Дополнительный материал по данной теме читайте в книге Питера Томпкинса (Peter Thompkins) «Secrets of the Great Pyramid» («Секреты Великой пирамиды») (Harper & Row, 1971).

Глава XXII. Закон движения.

Словарные определения слова «цикл» различны: «промежуток времени», «полный оборот или круг», «спиральная листовая структура», «повторяющаяся последовательность». Внимание было направлено главным образом на циклические ритмы фондового рынка, где они очень четко выражены. Любое движение от колес до планет является циклическим. Все циклы подразделяются на более мелкие части или уровни, которые облегчают измерение их развития.

Планеты движутся по орбитам и со скоростями, присущими только им. Земля вращается вокруг собственной оси и один раз в течение каждых 24 часов отделяет ночь ото дня. Она облетает Солнце один раз в год, тем самым предоставляя нам четыре времени года. Для того чтобы показать относительное положение и движение планет и их спутников в любое время в прошлом, настоящем или будущем, можно прокрутить модель Солнечной системы назад или вперед.

Некоторые примеры циклических процессов никогда не меняют свои модели. Например, вода твердо придерживается замкнутых циклов. Солнечные лучи нагревают поверхность океана, вызывая испарение воды. Воздушные течения несут испарения до встречи с холодными слоями воздуха над холмами и горами, которые в свою очередь конденсируют пар. Сила притяжения притягивает капли воды к земле, по которой те вновь достигают океана.

Нации подвержены воздействию политических, культурных и экономических циклов как крупных, так и мелких. Модели человеческой жизни наблюдаются в массовых процессах, таких как миграция в города и из городов, средний возраст, процент рождаемости и т.д.

Рисунок 88 показывает, что один вид человеческой деятельности не может быть использован для прогнозирования в другой области. Следовательно, модель каждой движущей силы должна анализироваться на основании своих собственных волн, а не с помощью посторонних факторов. В период с 1939 по апрель 1942 года отставание фондового рынка по сравнению с производством породило массу дискуссий, но никаких объяснений. Ответ заключается в том, что восьмилетний взлет в двадцатые годы вызвал тринадцатилетний треугольник вплоть до 1942 года.

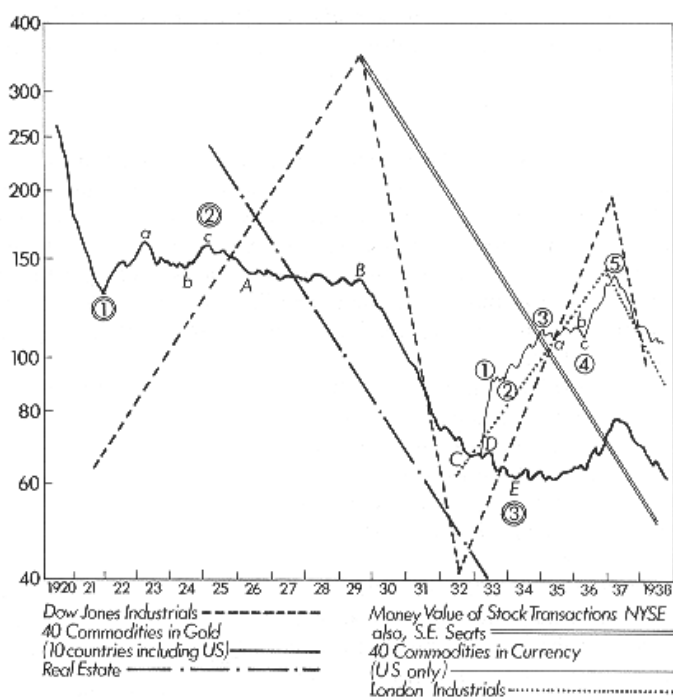


Рисунок 88

Очень ценным является график температуры, представленный на рисунке 89. Температура не связана с человеческой деятельностью [*точнее, не является специально вырабатываемым продуктом человеческой деятельности]; тем не менее, за сто десять лет циклические волны сформировали безупречную модель из пяти восходящих волн.

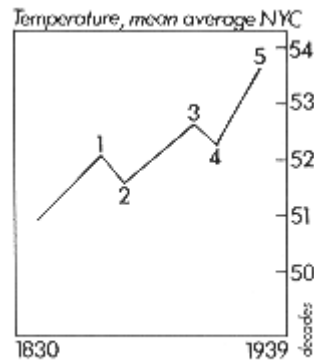


Рисунок 89

(На рисунке 89 представлен график среднегодовой температуры по Фаренгейту в г.Нью-Йорк. 50F = ~10C, 60F = ~16C *)

Периодичность между вершинами и впадинами [*на графиках] для многих примеров, таких как эпидемии, выделка шкур рыси, производство тентовых гусеничных машин, миграция лососевых и т.д. является довольно схожей. В различных видах [*массовой] человеческой деятельности циклы распределены неравномерно. Они следуют волновым моделям в соответствии с арифметической последовательностью Фибоначчи.

Динамическая гармония является законом природы и, следовательно, основой всех форм деятельности.

С момента открытия того факта, что Земля круглая, циклы явились предметом многих исследований. Существует три класса циклов. К первому относятся примеры с постоянной периодичностью между вершинами и между впадинами, такие как день и ночь, времена года, приливы, эпидемии, погода, рой насекомых и т.д. (Я рекомендую статью Дональда Кули (Donald G. Cooley), озаглавленную «Cycles Predict the Future» («Циклы предсказывают будущее») в журнале «Mechanix Illustrated», февраль 1944 г.) Ко вторым относятся периодические колебания, вызываемые в некоторых случаях астрономическими аспектами. К третьему классу относятся примеры, у которых модели, время и соотношения [*волн] развиваются в соответствии с арифметической последовательностью, открытой математиком Фибоначчи.

Весьма интересна брошюра профессора Чёрча из Оксфорда (A.H.Church), озаглавленная «The Relation of Phyllotaxis to Mechanical Laws» («Связь листорасположения с законами механики»). Джей Хэмбидж (Jay Hambidge) провел много лет, изучая документы, и является автором книги под названием «Practical Applications of Dynamic Symmetry» («Практическое применение динамической гармонии»). Одна глава называется «The Law of Phyllotaxis» («Закон листорасположения»). Страницы 27 и 28 той главы повторяются в моей книге в главе 2.

Доктор Вильям Петерсен (William F. Petersen) из Иллинойского университета является автором очень важной и интересной книги под названием «The Patient and the Weather» («Больной и погода»). В ней представлены графики развития болезни. Эти модели являются в точности такими же, что и на графиках любой другой деятельности, включая фондовый рынок.

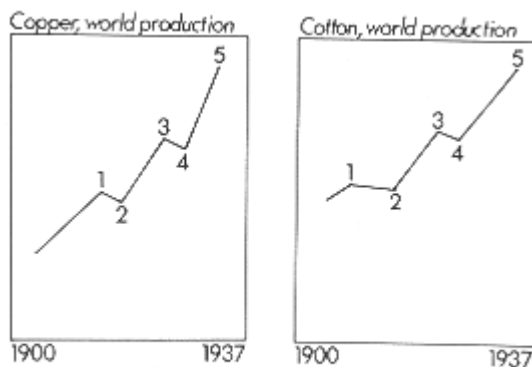


Рисунок 90

Рисунок 91

[*Рисунки 90 и 91 оставлены автором без комментариев. На них представлены графики мирового производства меди и хлопка. Классические пяти-волновые модели. Но эти модели не совпадают с моделью на графике индекса DJIA, что лишний раз подчеркивает правильность выводов об индивидуальности разных видов человеческой деятельности, сделанных Р.Эллиоттом.]

Глава XXIII. Великая депрессия.

Это общепринятое выражение является неправильным по отношению к фондовому рынку. Падение акций с 1929 по 1932 год было коррекцией предыдущего подъема, как показано на рисунках 68 и 82. Словарь определяет «депрессию» как «ниже превалирующей поверхности». [*Так же, как и в случае с определением слова «инфляция», автор берет общепринятое значение, а не экономическое. «Depression» – экон., спад, депрессия, экономический кризис.] Большой Каньон Колорадо является «депрессией», поскольку «ниже превалирующей поверхности» на многие мили в любую сторону. По отношению к вершине Скалистых гор Тихий океан является так называемой «коррекцией», а не «депрессией», несмотря на тот факт, что побережье Тихого океана намного ниже, чем дно Большого Каньона. На фондовом рынке нет такого понятия, как «депрессия». Если бы такое было возможно, то по отношению к вершине Скалистых гор Тихий океан корректно было бы назвать «депрессией». Существует множество причин для такого ошибочного выражения.

Широкие слои общественности, которые не интересовались акциями, в период с 1921 по 1929 год привыкли к непрерывной занятости на работе и могли быть довольными. Естественно, они считали это нормальными условиями жизни. Когда произошел обвал 1929-1932 годов, многие с трудом сводили концы с концами. Естественно, это казалось для них «депрессией».

В период подъема фондового рынка с 1921 по 1929 годы трейдеры говорили, что они находятся в «Новой эре», «никогда не будет спада», «просто следует придерживаться движения» и т.д. Многие общепринятые приемы [*трейдеров] были «ужасными, но законными» [*игра слов «awful but lawful»].

Многие политики виноваты в ошибочном использовании слова «депрессия». В самом начале падения 1929-1932 годов, когда г-н Гувер был Президентом, некоторые говорили, что процветание «совсем рядом». В период президентской кампании в 1932 году демократы критиковали республиканцев и г-на Гувера за «депрессию». Результаты выборов 1932, 1936 и 1940 годов показали, что большинство избирателей верили тем, кто проводил политику Нового курса. Республиканцы критиковали приверженцев Нового курса за падение с 1937 по 1942 год. Ошибочность этой политической ловушки, поддерживаемой или демократами, или республиканцами, графически показана в Главах 10 и 11.

У фондового рынка никогда не бывает «депрессии»; он всего лишь корректирует предыдущий подъем. Любой [*законченный] цикл представляет собой действие и противодействие.

Многие аналитические службы и финансовые комментаторы газет упорно продолжают смаковать текущие события в качестве причин подъемов и падений. У них в распоряжении есть ежедневные новости и поведение рынка. Поэтому легко провести связь одного с другим. Когда же новости отсутствуют, но рынок колеблется, они называют его поведение «техническим». (1) Это обсуждалось в Главе 17.

Важные события происходили в прошлом и происходят сейчас. Если падает Лондон, а поднимается Нью-Йорк, или наоборот, комментаторы сбиты с толку. Г-н Бернард Барух (Bernard Baruch) не так давно сказал, что мы достигнем процветания в течение нескольких лет *«независимо от того, что сделано, а что нет»*. Обдумайте это.

Предполагалось, что в период темного средневековья мир остановился в развитии. Мы настойчиво продолжаем сохранять схожие заблуждения.

Сноски

(1) Звучит знакомо? Десятилетия спустя такая практика преобладает, как всегда.

Глава XXIV. Эмоциональные циклы отдельных личностей.

Циклы массовой психологии в человеческой деятельности представлены в виде графиков на других страницах. В настоящее время один из ученых публикует результаты своих исследований в области эмоциональных циклов отдельных личностей. В ноябрьском 1945 года выпуске журнала «Красная книга» появилась заметка, написанная г-ном Майроном Стернсом (Myron Stearns), в которой он докладывает о результатах исследований в течение более семнадцати лет, выполненных доктором Рексфордом Херси (Dr. Rexford B. Hersey), естествоиспытателем. Корпорация «McCall Publishing Corporation» дала мне разрешение на цитирование данной статьи. Я подчеркнул некоторые цифры и ссылаюсь на них в последних абзацах.

«Доктор Херси является выпускником Университета Западной Виржинии и Берлинского Университета... По результатам своих наблюдений д-р Херси написал книгу «Эмоциональность трудящихся дома и на работе», которую в 1932 году опубликовал Университет Пенсильвании. Дальновидные руководители железной дороги в Пенсильвании поддержали работу Херси. Д-ра Херси пригласили в Германию. Он определил, что эмоциональные циклы рабочих Германии такие же, как и у американцев.

Повторяющиеся подъемы и спады человеческих эмоций подтверждаются д-ром Херси, который наблюдал и изучал их в течение более семнадцати лет. Его исследования показывают, у всех нас душевные подъемы и спады следуют один за другим с такой же постоянной закономерностью, как и приливы. Он обнаружил, что все обследования каждого человека на протяжении многих недель складываются в четкую систематическую модель. График д-ра Херси показывает, что почти каждую 5-ю неделю наблюдаемый становится более критичным.

Вы принимаете как должное, что наплыв неудач свалит вас, если вы не приведете в действие свои душевные силы, силу воли. С другой стороны, хорошие новости поднимут вас на вершину мира. Теперь наука говорит, что это не так. Если вы полны энергии и энтузиазма, хорошие новости поднимут вас еще выше. Но если вы печально продираетесь сквозь «черный понедельник», хорошие новости могут помочь только временно, и это практически все.

Человеческие эмоции обычно поднимаются и падают с постоянным интервалом от 33 до 36 дней. Подъемы и падения этих параметров имеют сходство с графиками фондового рынка.

Содержание холестерина в крови циклически меняется с периодом около 56 дней... Гормоны щитовидной железы, которые определяют общий эмоциональный цикл, обычно завершают свой полный цикл от наименьших значений к наибольшим и обратно через 4..5 недель... В случае увеличенной щитовидной железы, цикл может быть короче – 3 недели.

Не оказалось разницы в длительности цикла у мужчин и женщин.»

Арифметическая последовательность Фибоначчи включает в себя числа 3, 5, 34 и 55. Временные циклы не всегда точны. Следовательно, когда период представляют как «33..36», номинальный период равен 34, более или менее. Номинальный период в 55 дней включает в себя и число 56.

Когда члены вашей семьи, друзья, подчиненные, начальники, клиенты и т.д. раздражают вас, я советую вспомнить эту главу. У других людей так же, как и у вас, есть свои [*эмоциональные] циклы. Не позволяйте своему циклу схлестнуться с другими.

Глава XXV. Пифагор.

© The Philosophical Research Society, Inc.



ПИФАГОР

Пифагор, выдающийся человек, жил в пятом веке до нашей эры и оставил такой отпечаток в истории, который редко кто смог достигнуть. Читателю следует просмотреть в Британской энциклопедии отчет о его деятельности. Он был настойчивым исследователем открытий других людей и посетил [*с этой целью] Египет, который часто упоминался в качестве «Колыбели цивилизации».

Пифагор широко известен за свои исследования в области математики. Но, насколько я понял, самые важные его открытия остались незамеченными. Он нарисовал треугольник и поместил под ним загадочную надпись «Секрет Вселенной». Этот факт подробно описан в Главе 2.

В 1945 году, г-н Джон Манас (John H. Manas), доктор философии, Президент общества Пифагора, написал книгу под названием «Life's Riddle Solved» («Решенная загадка жизни»), в которой разместил рисунок с изображением Пифагора. С разрешения г-на Мэнли Холла (Manly P. Hall), главы философского общества Лос-Анджелеса, Калифорния, привожу его здесь (см. выше).

На данном рисунке представлено много символических изображений, но мы сосредоточимся только на двух из них – пирамиде, которую Пифагор держит в правой руке, и трех квадратах в правом нижнем углу картины.

Это пирамида символизирует Великую пирамиду в Гизе, построенную, по-видимому, около 1000 лет до нашей эры, хотя некоторые исследователи полагают, что она гораздо старше. Эта пирамида отнесена к «Семи чудесам Света». Поразительна точность измерения и размещение по месту используемых огромных мраморных глыб. Тем не менее, эти факты становятся незначительными в сравнении с теми знаниями, которые она символизирует. Возможно, именно к ней относится один из абзацев Библии (Книга пророка Исаии, стих 19:19). Он гласит: «В тот день жертвенник Господу будет посреди земли Египетской, и памятник Господу - у пределов ее». [*Это официальный церковный перевод Библии, версии короля Джеймса.]

В Главе 2 были даны схематичные изображения пирамиды с различных углов зрения. Для удобства вид одной стороны представлен на рисунке 92.



Рисунок 92

Основание одной стороны составляет 9131 дюйм. Основание четырех сторон измеряется 36524.22 дюймами. [*Здесь присутствует некоторая нестыковка в исходных цифрах, изложенных в Главах 2, 21 и 25, хотя общий итог один и тот же.] Это число символизирует количество дней в солнечном году, 365 1/4 дня. В календарном году 365 дней, но каждый четвертый год необходимо добавлять дополнительный день (29 февраля). Это – «високосный год». Общее количество дней за четыре года – 1461.

Высота от основания до вершины равна 5813 дюймам. Основание одной стороны составляет 9131 дюйм. Соотношение высоты к основанию равно 63.6%. У данной пирамиды пять поверхностей и восемь ребер. 5 плюс 8 равно 13. Обратите внимание, что высота – 5813 дюймов, это числа 5, 8, 13. 5 – это 62.5% от 8. 8 – 61.5% от 13. Обратите внимание на применение данных соотношений на рисунке 71.

В человеческой деятельности восходящее движение состоит из пяти волн, три вверх и две промежуточные коррекции. Полный цикл состоит из пяти волн вверх и трех волн вниз, всего восемь. Это справедливо на всех волновых уровнях – Мелком (Minor), Среднем (Intermediate) и Первичном (Major). См. Главу 4.

Диаграмма, показанная в правом нижнем углу картины с Пифагором, воспроизведена на рисунке 93. Я пронумеровал квадратики, которые закрашены на картине. У верхнего правого квадрата – пять закрашенных квадратиков. На левом верхнем квадрате – восемь таких квадратиков. Нижний квадрат содержит тринадцать закрашенных квадратиков. Эти цифры соответствуют цифрам в высоте Великой пирамиды.

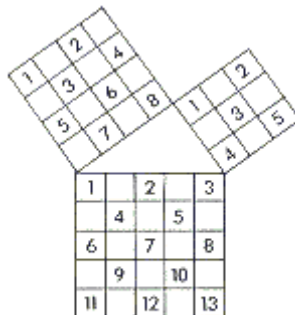


Рисунок 93

Такие же три квадрата показаны на рисунке 94. Теперь маленькие квадраты пронумерованы другим способом:

- 1, 2 и 3, где квадрат 3 равен 9,
- 1, 2, 3 и 4, где квадрат 4 равен 16, и
- 1, 2, 3, 4 и 5, где квадрат 5 равен 25.

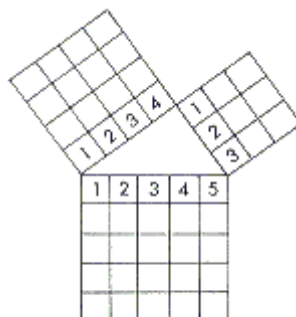


Рисунок 94

Теорема гласит: квадрат гипотенузы прямоугольного треугольника равен сумме квадратов катетов. Открытие этого решения является самой известной работой Пифагора.

Теперь вернемся к последовательности Фибоначчи от 1 до 144. Эти цифры и формируют «Секрет Вселенной», на который ссылался Пифагор. Наилучшим примером в ботанике является подсолнух, описанный Джейм Хэмбиджем в Главе 2. Числа 3 и 5 используются в строении тела человека и животных. На картине с Пифагором расположено много других символов (1), которые являются неким идеалистическим представлением.

Сноски

(1) Эллиотт подрезал эту картину до размера 5” x 8” – Золотой прямоугольник в его воспроизведении.

Глава XXVI. Разное. (1)

Торговый объем волн

Во время подъема [*цены] объем волны 5 не превышает объем волны 3; подчас он меньше. До тех пор, пока растет объем, формируется следующий подъем, и так до тех пор, пока не будет зарегистрирован новый подъем без увеличения объема. См. рисунок 95. Кроме того, обратите внимание, что объем волны 2 меньше, чем объем волны 1. Это является удобным индикатором. (2)

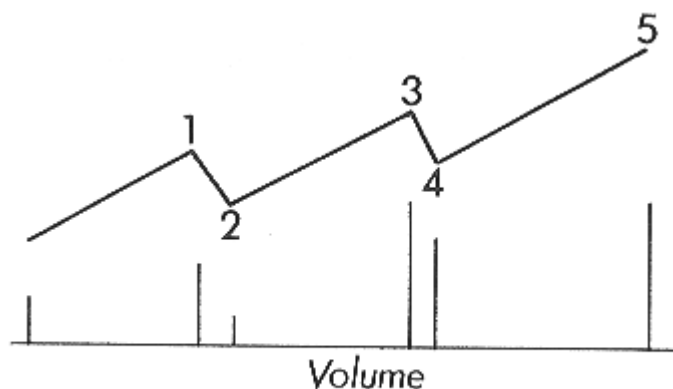


Рисунок 95

Окружности

Слово «цикл» означает окружность. Порой это свойство проявляется на графиках акций. Окружность на рисунке 96 разделена на четыре сегмента А, В, С и D. Когда график формирует нисходящее закругление, как в сегменте С, и модель завершена, поскольку количество волн позволяет предположить, что к концу нисходящего движения могут сформироваться одна или более трех-волновых последовательностей, то затем следует ускоренный подъем как в сегменте D. Общая картина подъема и спуска будет походить на объединенные сегменты С и D или, другими словами, на нижнюю половину окружности.

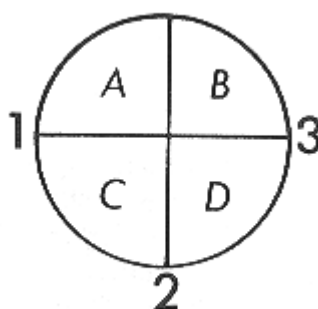


Рисунок 96

Множество забастовок в конце 1945 года является просто колебанием маятника слева направо, от 1 к 2, а затем к 3, как на рисунке 96. До организации трудящихся (до 1906 года), многие, если не большинство работодателей были самодержавны, беспощадны и безжалостны к наемным рабочим, конкурентам и общественности. В настоящее время поведение некоторых забастовщиков не хуже, чем поведение руководителей на заре этого движения. У каждого народа, вида

человеческой деятельности и отдельных личностей есть свои собственные циклы – некоторые длинные, другие короткие, в зависимости от категории и протяженности каждого.

«Подножие А-В»

Подножие А-В (3), представленное на рисунке 53 Главы 6, иногда состоит из двойных или даже тройных троек, как описано в Главе 5. Это особенно справедливо, когда формируется закругляющееся дно, обсуждаемое в первом абзаце раздела «Окружности», немного выше по тексту.

Сноски

(1) Первоначально эта глава содержала несколько абзацев, которые явно относились к ранним разделам книги. Очевидно, Эллиотт подумывал о дополнительных указаниях после того, как большая часть рукописи была завершена и отпечатана. Я переместил эти абзацы в соответствующие места текста.

(2) То есть, показывает, что действительно формируется волна 2, а за ней последует волна 3.

(3) Подножие А-В вполне подходит к описанию первых двух волн растянутой волновой плоскости. И ссылка Эллиотта на рисунок 53, на первый взгляд отражает то, что он имел в виду. Тем не менее, в исследовании бычьего рынка 1942-1946 годов, описание которого представлено в следующей главе, он использует понятие подножия А-В в качестве *дополнительного* волнового явления, которое формируется между окончанием коррекционной волны и началом ведущей или импульсной волны. В таком дополнении нет необходимости, поскольку волновая конструкция такой формы является, по нашему мнению, просто частью предыдущей коррекционной волны или частью следующей импульсной волны. Формирование кажущегося «подножия А-В» всегда имеет иное объяснение, более согласуемое с [*современным] Законом волн.

Глава XXVII. Бычий рынок 1942-1945 годов.

Тринадцатилетний треугольник индекса DJIA с 1928 по апрель 1942 года представлен на рисунке 71. Как показано на рисунках 31, 32, 37 и 38 Главы 5, за треугольником следует бросок [*цены].

На рисунке 97 представлен индекс DJIA. Каждый вертикальный бар отражает диапазон изменения цен за один месяц. Волна [1] Первичного уровня – короткая. Волна [3] Первичного уровня длиннее, а ее волны Среднего уровня помечены буквами **a**, **b**, **c**, **d** и **e**. Обратите внимание на внутреннюю базовую линию, проходящую через вершины волн **b** и **d**. Волна [4] Первичного уровня состоит из трех волн Среднего уровня, обозначенных буквами **a**, **b** и **c** с июля по ноябрь 1943 года. Волна [5] Первичного уровня формировалась с ноября 1943 года по 10 декабря 1945 года. Волны А и В длились пять месяцев. (1) На дневном и недельном тайм-фреймах за этот период [*подножие А-В] все волны состоят из трех подволн каждая (см. рисунок 53).

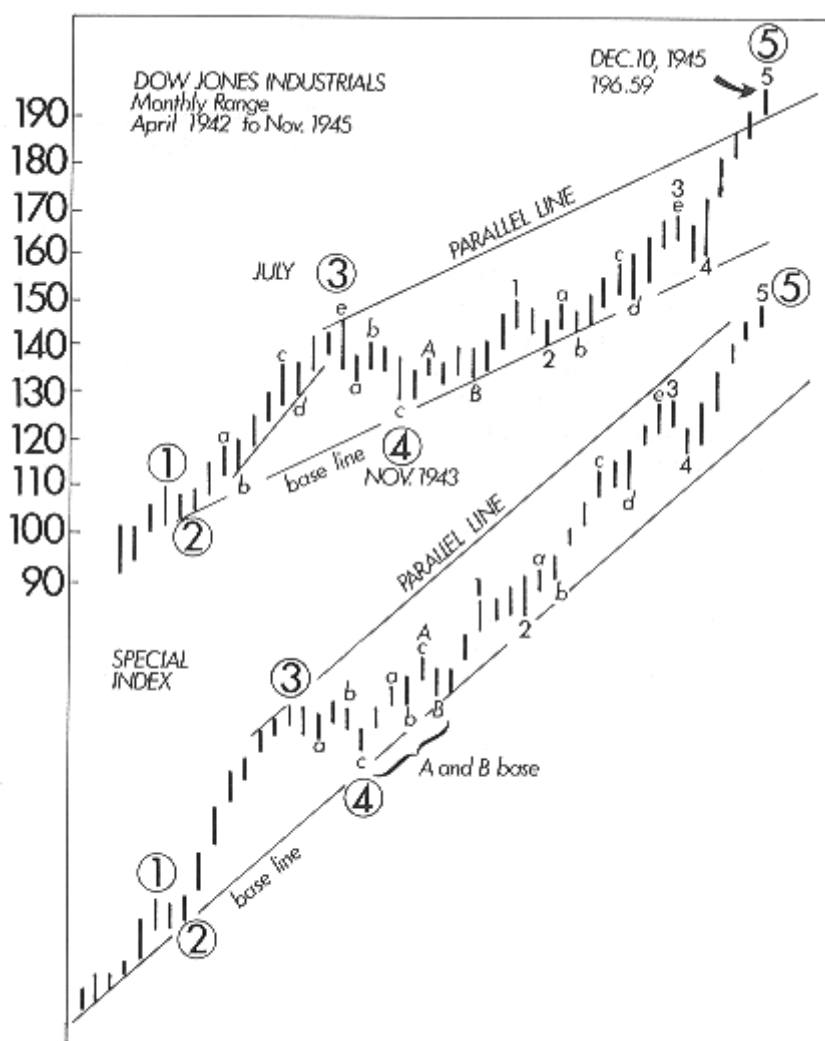


Рисунок 97

От буквы В к цифре 1 сформировалась волна 1 Среднего уровня, поскольку она состоит из пяти волн дневного тайм-фрейма. Волна 3 Среднего уровня состоит из пяти волн, отмеченных буквами **a**, **b**, **c**, **d** и **e** (удлиненная). Удлинения никогда не появляются более, чем в одной подволне импульса 1, 3 и 5 (см. рисунки с 39 по 44). Волна 4 Среднего уровня такая же, как и волна 2. Волна

5 Среднего уровня состоит из пяти волн недельного тайм-фрейма и достигла отметки 196.59 в 1945 году, 10 декабря. Цена немного зашла за параллельную линию. После 10 декабря 1945 года, вершина растянутой волновой плоскости (2) достигла отметки 207.49 в 1946 году, 04 февраля.

Форма волны [5] Первичного уровня с ноября 1943 по декабрь 1945 года была необычной по одной причине. Она формировалась, прижимаясь к базовой линии с ноября 1943 по август 1945 года, вместо того, чтобы сразу направиться к параллельной линии. Причина данной аномалии заключалась в новой партии безрассудных спекулянтов, у которых денег было больше, чем опыта, и которые оказывали предпочтение дешевым акциям вместо проверенных ценных бумаг, представленных известными фондовыми индексами. Чтобы обойти данную аномалию, я составил Специальный индекс, поведение которого было привычным, как можно увидеть в нижней части рисунка 97. Обратите внимание, что волна [5] Первичного уровня не прижимается к базовой линии, а наоборот, формируется по прямой линии от начала до конца.

Примечание: На верхнем графике рисунка 97, индекс DJIA сформировал свою «ОТ» (orthodox top – ортодоксальную вершину) на отметке 196.59 в 1945 году, 10 декабря. В настоящее время формируется волна В, вершина растянутой волновой плоскости. За ней должна последовать волна С (см. Главу 7). (3)

Предполагаю необычно слабый медвежий рынок, как показано на рисунке 76, Глава 12. (4)

Сноски

(1) Маркировка А и В в качестве волн 1 и 2 удлиненной волны [5] позволила бы Эллиотту полагать вершину в мае 1946 года в качестве ортодоксальной вершины [*волна 3 на рисунке 97].

(2) Декабрьский пик был волной 3. «Вершина растянутой волновой плоскости» предшествовала четкому пяти-волновому падению, как и предполагалось. Тем не менее, эта вершина была волной В растянутой волновой плоскости А-В-С, которая сформировала волну 4. Затем волна 5 завершила конечную ортодоксальную вершину на отметке 212.50 в мае 1946 года.

(3) Эллиотт был безошибочно настроен на медвежий рынок кризиса 1946 года, так как он ожидал падение [*цен] в виде волны С. Поскольку нижняя отметка этого падения была как раз над значением 160, возможно, он также «указал» это дно, так как падение завершилось на уровне предыдущей волны 4.

(4) Единственным затруднением в прогнозировании, с которым Эллиотт мог столкнуться впоследствии, могло быть ожидание *немедленного* роста цен после необычно слабого медвежьего рынка, которое являлось результатом предполагаемого броска после тринадцатилетнего треугольника по его разметке. Хотя наименьшее значение в районе отметки 160 никогда серьезно не нарушалось, рынок не начинал рост до 1949 года.

Обзор и заключение.

На рисунке 71 изображен тринадцатилетний треугольник с 1928 по 1942 год. Можно заметить со ссылкой на Главу 5, что [*в импульсе] треугольники всегда формируются в качестве волны 4, а волна 5 превышает вершину волны 3.

[*Возвращаясь к бесконечному спору с отдельными представителями волновиков о возможном месте треугольника в моделях старшего уровня, позволю привести здесь цитату первооткрывателя данной теории Р.Н.Эллиотта: «...triangles have always appeared as wave 4...»]

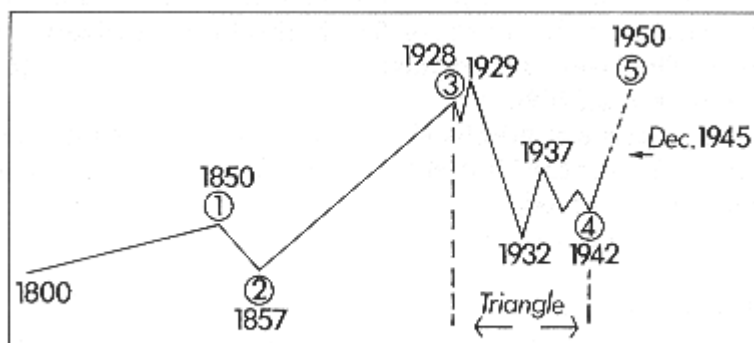


Рисунок 98

На рисунке 98 представлен график рынка с 1800 по декабрь 1945 года. (1) Волна [1] с 1800 по 1857 год опирается на историю торгово-промышленной деятельности, поскольку данные по фондовому рынку были недоступны до 1857 года. Ноябрь 1928 года является ортодоксальной вершиной волны [3] с которой начался данный треугольник (волна [4]). После окончания треугольника в апреле 1942 года начался «бросок» (волна [5]). «Бросок» всегда превышает вершину волны [3], которая в данном случае сформирована в ноябре 1928 года.

Движение с 1921 по ноябрь 1928 года состояло из трех бычьих рынков и двух промежуточных необычайно неглубоких медвежьих рынков. К настоящему времени, в декабре 1945 года, отмечен только один бычий рынок. Следовательно, было бы логично, если бы форма и продолжительность волн после 1942 года были бы похожи на движение с 1921 по 1928 годы, т.е. три бычьих рынка и два промежуточных неглубоких медвежьих рынка. [*Автор проводит аналогию между двумя пятью волнами импульса.]

[*Этот участок] индекса DJIA начался в 1921 году со значения 64 и завершился в ноябре 1928 года на отметке 299 с подъемом в 235 пунктов. Наш бросок начался в апреле 1942 года со значения 93. 93 плюс 235 равно 328, или на 29 пунктов выше максимальной отметки ноября 1928 года, вершины волны [3]. (2) Данный бросок может продлиться восемь лет с окончанием в 1950 году, аналогично 1921-1929 годам. Огромное количество денег на руках населения из-за финансирования заказов в период второй мировой войны, по-видимому, должно подтвердить данное предположение.

Существует и другой подход в сравнении с графиком 1921-1928 годов. В период 1921-1928 годов, первая волна была обычным бычьим рынком без каких-нибудь признаков прорыва [*см. Главу 12]. Пятая волна, заканчивающаяся в ноябре 1928 года, бесспорно, была прорывом. В настоящее время *первая* волна с 1942 по 1945 годы, показала признаки прорыва. Дешевые акции сомнительной ценности взлетели вверх до цены «голубых фишек». Газета «The New York Sun» перечислила девяносто шесть акций, которые необычайно взлетели в цене. Каждая из них начинала где-то ниже

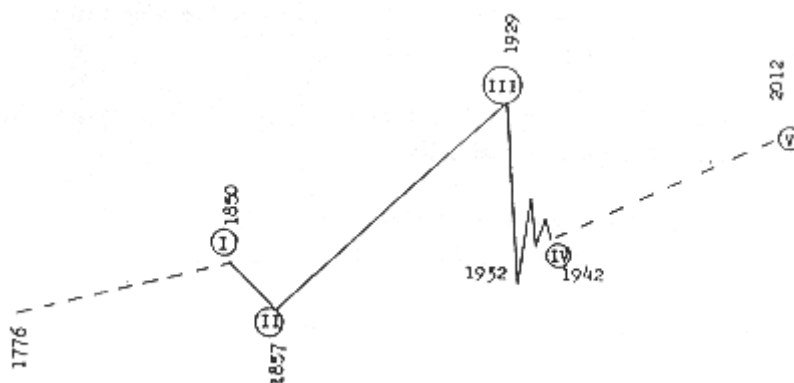
\$2 за акцию. Наивысший процент повышения цены составил 13300%. Самый скромный взлет равнялся 433%. Среднее значение для этой группы соответствовало 2776%.

Графики, показанные на предыдущих страницах, дают представление об основных исторических очертаниях [*торгово-промышленной деятельности] Соединенных Штатов. Развитие США необычно по многим причинам:

- Географическое положение, очертание и границы: площадь, с двух сторон ограниченная огромными океанами и дружественными соседями.
- Широта и климат: полутропический, способствующий сельскому хозяйству.
- Природные ресурсы: золото, железо, уголь, нефть, древесина и водные пути.
- Дух времени и индивидуальная инициатива: количество и ценность патентов с 1850 по 1929 год невероятны. На это было обращено внимание в Главе 14. Заметьте, что график применения патентов (рисунок 81) совпадает с волнами фондового рынка и по времени, и по форме, который в свою очередь отражает деловую активность и массовую психологию.
- Демократические идеалы: форма правления поощряет индивидуальную инициативу. Это не означает, что достигнуто совершенство, но предполагает, что мы находимся на правильном пути.

Сноски

(1) Повторюсь. В условиях чрезвычайно ограниченных данных, Эллиотт безошибочно воспроизводит волны Главного волнового уровня с конца 1700-х, так же, как он делал это в своих заметках 1941 и 1942 годов. Кроме того, его прогноз относительно новых значений выше отметки 1929 года также верен. Тем не менее, на этом рисунке [*рисунок 98] он указал короткий отрезок времени с окончанием в 1950 году, который непропорционально мал в сравнении с предыдущими четырьмя волнами. Кажется, что даже при беглом анализе графика, [*конечная] вершина предполагается гораздо дальше 1950 года и гораздо выше отметки 328 DJIA. Проблема, опять-таки, заключается в тринадцатилетнем треугольнике Эллиотта, поскольку броски, следующие за треугольником, стремительны и коротки. График, который Эллиотт представлял в своем Пояснительном письме, датированном августом 1941 года и вновь в Обучающем бюллетене за октябрь 1942 года, показывает более точную дату начала цикла -1776 год, и более подходящую проектную конечную дату – 2012 год, как показано ниже.



(2) Данные вычисления основаны на том принципе, что, как правило, пятая волна, следующая за горизонтальным треугольником, приблизительно равна самой широкой части этого треугольника.